

APROBADO

4/08/2002

Apuntes de Comunicaciones Digitales  
3º ETSI Telecomunicación  
(Universidad de Málaga)

Carlos García Argos ([garcia@ieee.org](mailto:garcia@ieee.org))  
<http://www.telecos-malaga.com>

Curso 2001/2002



# ÍNDICE

## TEMA 1: INTRODUCCIÓN A LOS SISTEMAS DE TRANSMISIÓN DIGITAL

- 1.1- Modelos de sistemas de transmisión digital
- 1.2- Fundamentos de teoría de la información
- 1.3- Transmisión a canales limitados en banda
- 1.4- Codificación de fuente
- 1.5- Codificación de canal
- 1.6- Codificación de líneas
- 1.7- Igualación. Filtros transversal

## TEMA 2: TEORÍA DE LA DECISIÓN

- 2.1- Introducción
- 2.2- Teoría de la decisión. Test de hipótesis
- 2.3- Criterios de decisión
- 2.4- Suficiencia e irrelevancia estadística. "Optimalidad"

## TEMA 3: TRANSMISIÓN DIGITAL EN LA BANDA DE BASE

- 3.1- Introducción
- 3.2- Determinación del receptor óptimo: filtro adaptado
- 3.3- Representación vectorial: canal vector
- 3.4- Prestaciones
- 3.5- Modelos especiales

## TEMA 4: SISTEMAS DE TRANSMISIÓN DIGITAL PASE BANDA

- 4.1- Introducción
- 4.2- Planteamiento general
- 4.3- Técnicas de modulación digital
- 4.4- Prestaciones

## TEMA 5: CANALES VARIABLES

- 5.1- Planteamiento general
- 5.2- Canales con amplitud aleatoria
- 5.3- Canales con fase aleatoria
- 5.4- Canales con desvanecimientos

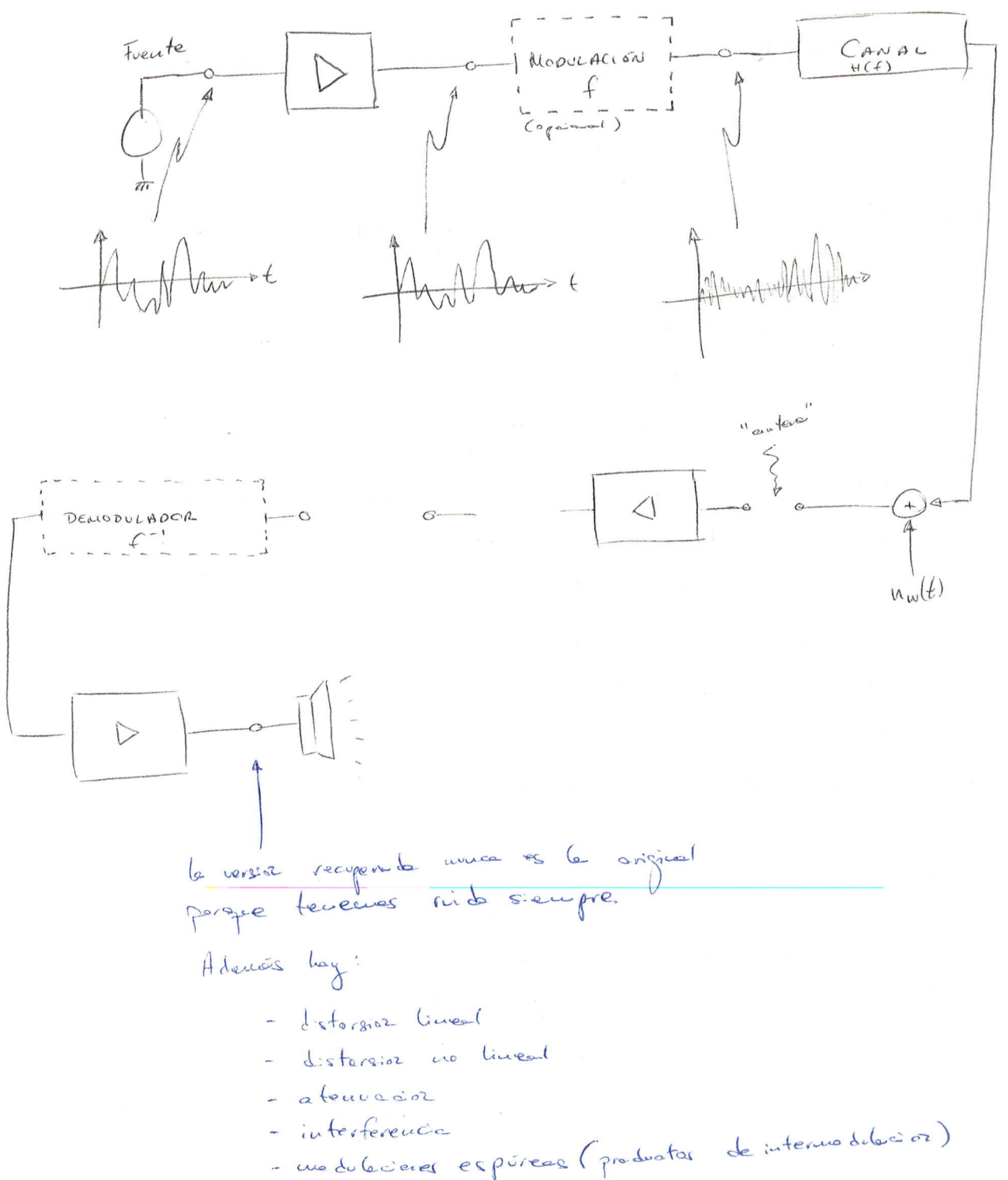


# TEMA 1: INTRODUCCIÓN A LOS SISTEMAS DE TRANSMISIÓN DIGITAL

- 1.1- MODELO DE SISTEMA DE TRANSMISIÓN DIGITAL
- 1.2- RUDIMENTOS DE TEORÍA DE LA INFORMACIÓN
  - 1.2.1- Generalidades
  - 1.2.2- Entropía
  - 1.2.3- Capacidad d. Límite de Shannon
- 1.3- TRANSMISIÓN EN CANALES LIMITADOS EN BANDA
  - 1.3.1- Criterio de Nyquist
  - 1.3.2- Diagramas de ojos
- 1.4- CODIFICACIÓN DE FUENTE
  - 1.4.1- Fuente analógica
  - 1.4.2- Codificación entropíca de una fuente digital
- 1.5- CODIFICACIÓN DE CANAL
  - 1.5.1- Codificación de bloques
  - 1.5.2- Codificación convolutional
  - 1.5.3- Codificación en rejilla (Trellis)
- 1.6- CODIFICACIÓN DE LÍNEA
- 1.7- IGUALACIÓN, FILTRO TRANSVERSAL

## 1.1 - MODELO DE SISTEMA DE TRANSMISIÓN DIGITAL

Sistema de transmisión analógico:



CALIDAD:

- SNR
- BW
- distorsión no lineal

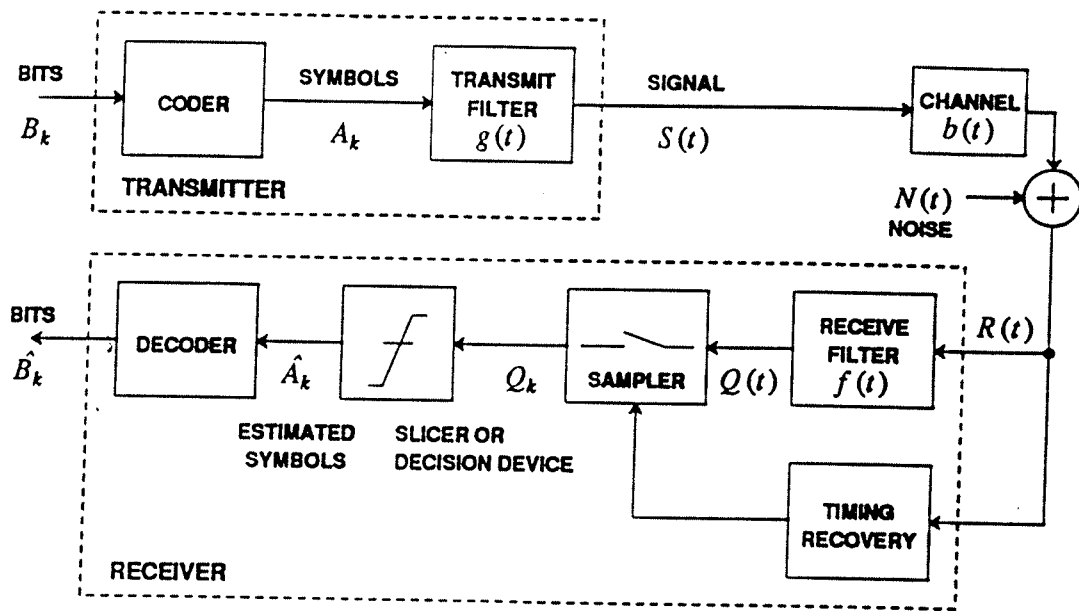


Figure 6-1. A baseband digital communication system, showing transmit coder, transmit filter, channel, receive filter, sampler and timing recovery, decision, and decoder.

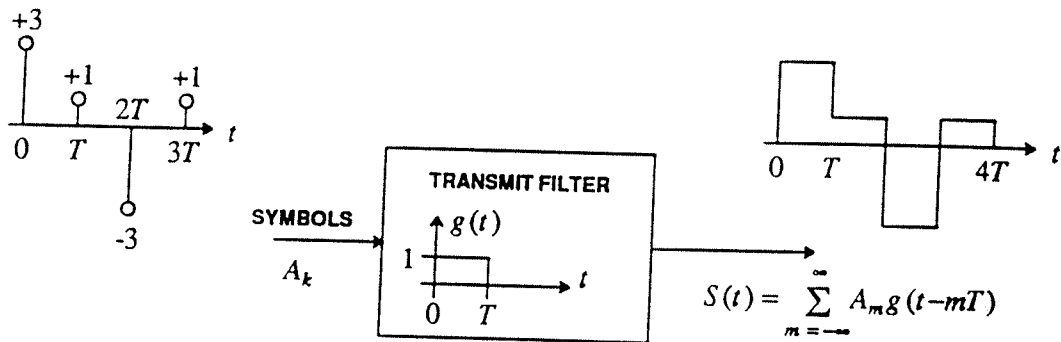
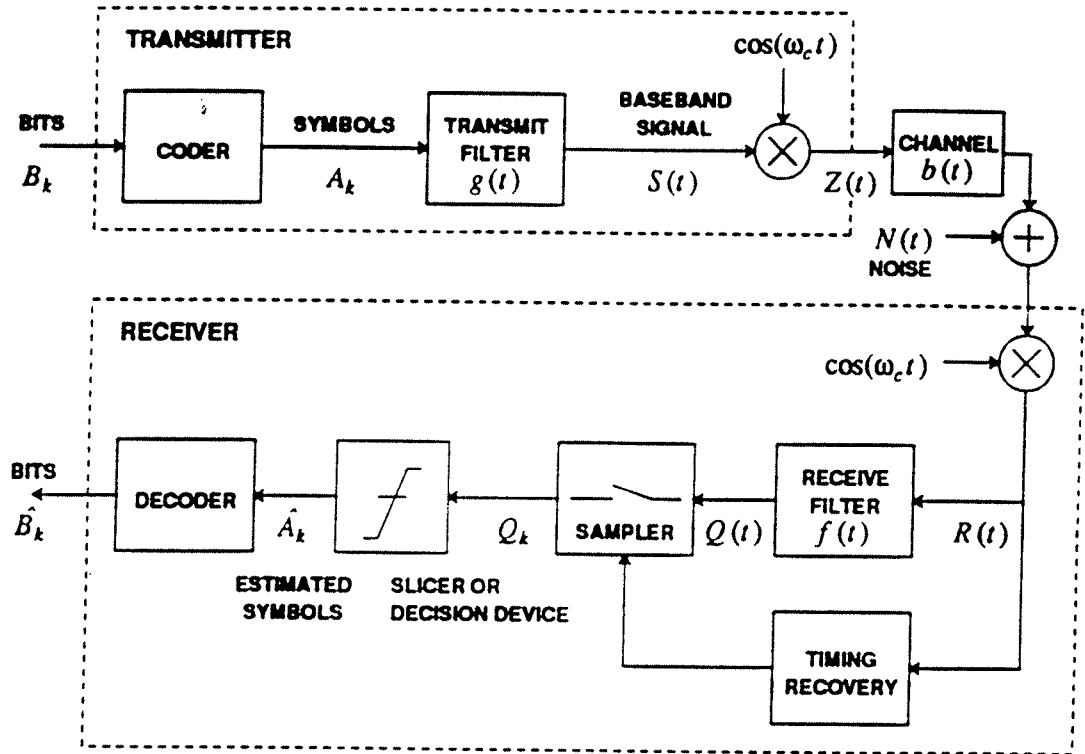


Figure 6-2. A transmit filter with a rectangular impulse response. The baud rate is  $1/T$  symbols per second. A sample symbol sequence (with alphabet size of four) and corresponding continuous-time signal are also shown.

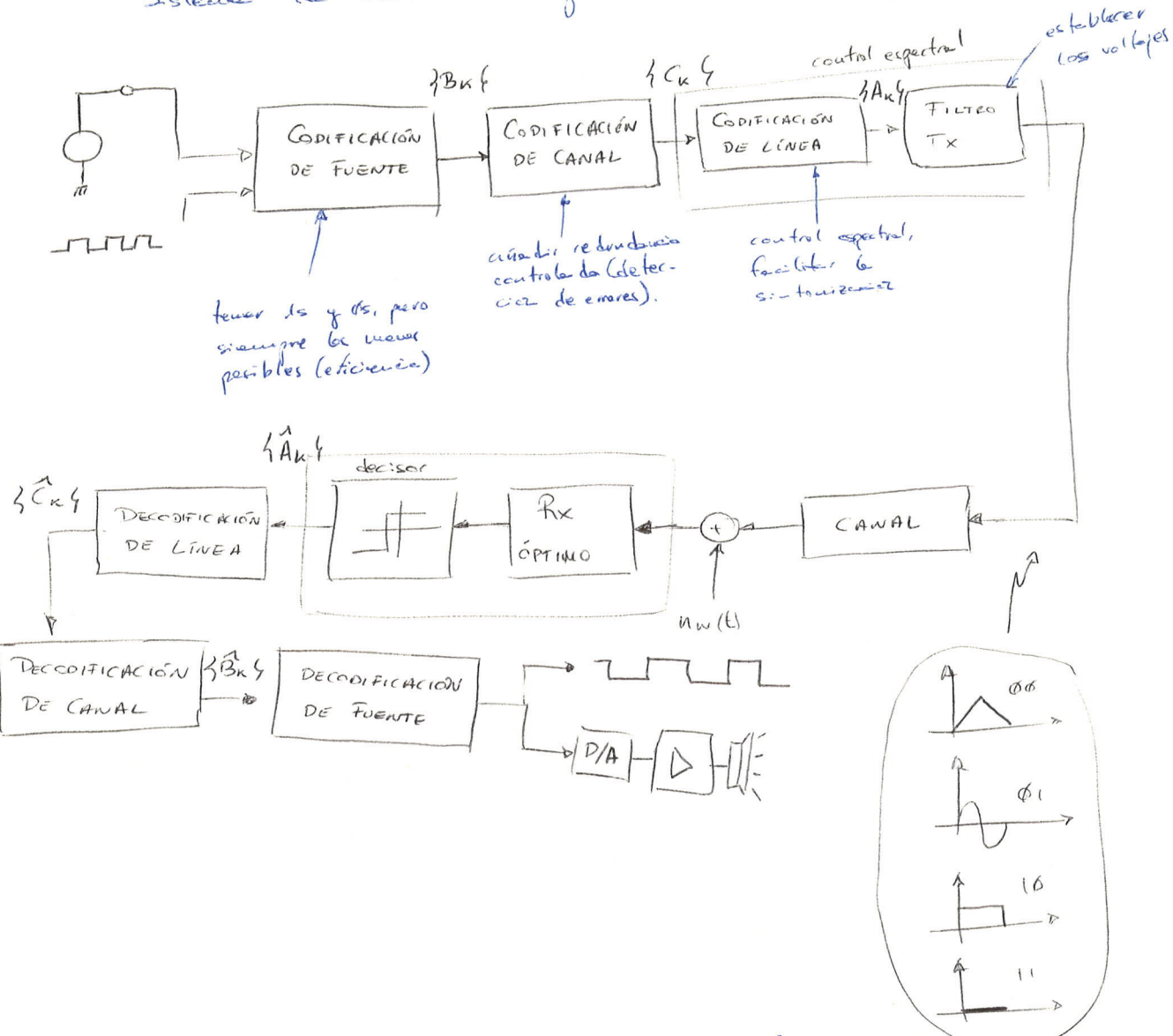




**Figure 6-3.** A naive passband PAM communications system using double-sideband AM modulation.



## Sistemas de transmisión digital:



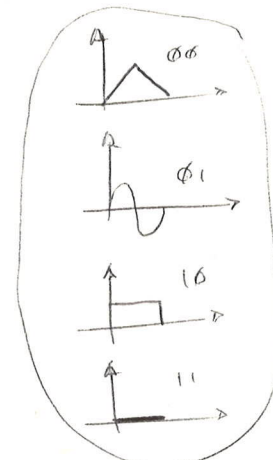
El objetivo es distinto al anterior: identificar la información, no recuperar la forma exacta de la señal.

### - Ventajas de los sistemas digitales:

- Con la codificación se permite la regeneración de señales al tratarse de un alfabeto reducido
- El proceso es barato
- Permite encriptar la información

### - Inconvenientes:

- Emplea más ancho de banda.
- En principio, la circuitaria es más compleja, aunque cada vez es menor verdad.



## MEDIDAS DE CALIDAD:

### - Velocidad de transmisión: V<sub>T</sub> (baudios)

Tiene relación con el ancho de banda

baudio = símbolos por unidad de tiempo  
(término francés, Bandst.)

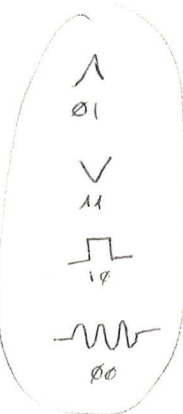
### - Probabilidad de error: p<sub>E</sub>

→ viendo qué señales se reciben mal

→ viendo qué bits se reciben mal

BER = Bit Error Rate

Tiene relación con la SNR y con el BW



## 1.2- PRINCIPIOS DE TEORÍA DE LA INFORMACIÓN

### 1.2.1 - Generalidades

$$\text{Shannon} \rightarrow I = -\frac{1}{P} \quad (I = \text{información}, P = \text{probabilidad})$$

$$\begin{aligned} I_A &= \frac{1}{P_A} \\ I_B &= \frac{1}{P_B} \end{aligned} \quad \left\{ \quad I_{AB} = \frac{1}{P_{AB}}$$

A, B independientes  $\Rightarrow P_{AB} = P_A \cdot P_B$

$$I_A + I_B \neq \frac{1}{P_{AB}} \Rightarrow \text{logarítmico}$$

$$I = \log_2 \frac{1}{P}$$

- C2?:
- \* entero más pequeño sobre el que se puede definir un logaritmo
  - \* si  $P_A = P_B = \frac{1}{2} \Rightarrow$  información de un BIT cada proceso.

$$I = \log_2 \frac{1}{p} \text{ (bits)}$$

BINARY DIGIT ~ BIT

$$2+2 = ?$$

4  
 IV  
 0000 (cuatro)  
 6-2  
 15'5 - 11'5  
 Four, vier, cuatro  
 $\int_0^4 dx$

bit = cantidad de información que proporciona un mensaje cuando sólo 2 sucesos son posibles y su probabilidad es  $1/2$ .

### 1.2.2 - Entropía

→ información media ( $H$ )

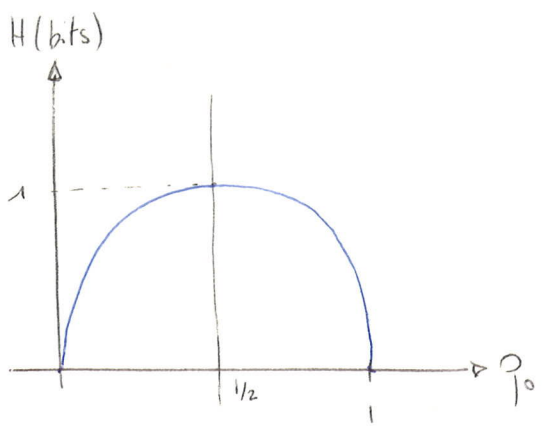
Mensajes ~  $\{p_i\}$

$$H = \sum_i p_i \cdot I_i = \sum_i p_i \cdot \log_2 \frac{1}{p_i} \quad (\text{bits})$$

$m_A \rightarrow "0"$   $p_n$

$m_B \rightarrow "1"$   $p_1$        $p_A + p_1 = 1$

$$H = H(p_A, p_1) = H(p_A) \quad \text{si } p_1 = 1 - p_A$$



$$H = p_0 \log_2 \frac{1}{p_0} + p_1 \log_2 \frac{1}{p_1} = p_0 \log_2 \frac{1}{p_0} + (1-p_0) \log_2 \frac{1}{1-p_0}$$

Probabilidades "a priori"

Propiedad: dada una fuente, la entropía máxima se da cuando la distribución de probabilidades es equipartida

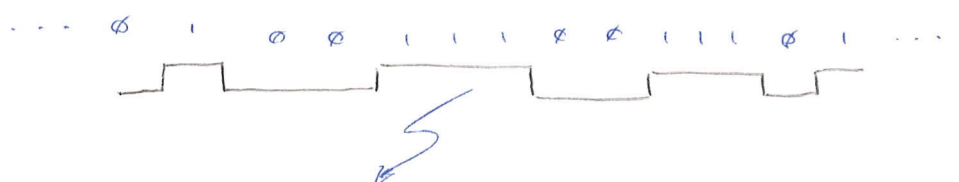
### 1.2.3 - Capacidad Límite de Shannon

Queremos transmitir una secuencia de bits.

régimen binario  $\rightarrow$

$R = \frac{\text{INFO}}{T} \quad (\text{bps})$
--

funciones }       $R \rightarrow -\text{ov}$   
                   }       $1 \rightarrow \text{I}$



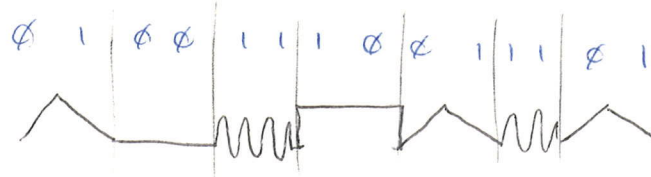
funciones  $\Rightarrow R = \frac{\text{nº FUNCIONES}}{T} \times \frac{\text{nº bits}}{\text{función}}$

También podemos agrupar los bits de 2 en 2:

Con las mismas funciones

hay que transmitir por el medio, nuevas restricciones hay de velocidad

funciones }       $\begin{array}{l} \text{ØØ} \rightarrow -\text{ov} \\ \text{Ø1} \rightarrow \text{I} \\ \text{1Ø} \rightarrow \text{II} \\ \text{11} \rightarrow \text{III} \end{array}$



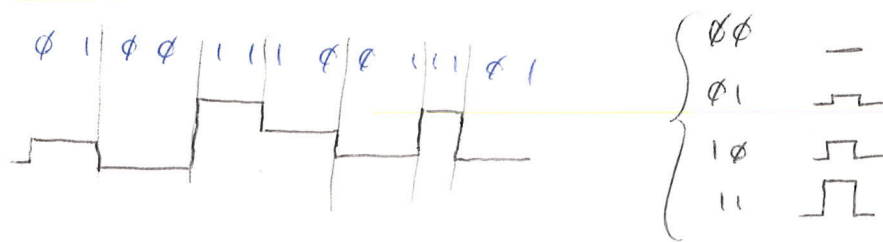
En vez de funciones se suele hablar de símbolos

$$r = \frac{n^{\circ} \text{ funciones}}{T} \quad (\text{baudios})$$

$$= \frac{n^{\circ} \text{ símbolos}}{T}$$

$$R = r \text{ (baudios)} \cdot H \text{ (bits/símbolo)} \quad | \quad (\text{bps})$$

Las funciones que hemos visto son muy distintas. Más adecuadas serían símbolos que sólo cambien amplitud, frecuencia o fase de un tipo de onda.



El objetivo es transmitir a una velocidad R bps.

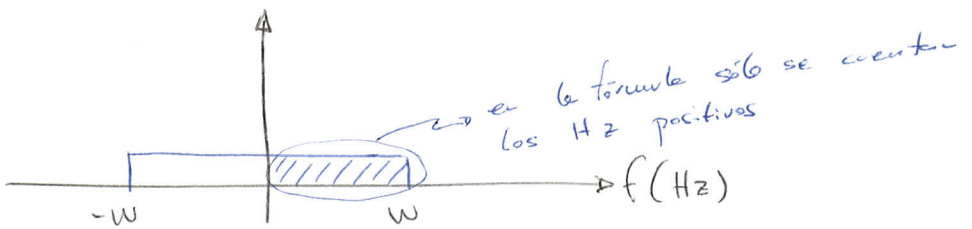
Por ejemplo, nos dan una banda W (Hz), una potencia de la fuente S(W) y una intensidad de ruido N\_0(W/Hz)

¿Dónde está el límite? La capacidad máxima depende de la banda y de la SNR:

$$CC \text{ (bps)} = W \cdot \log_2 (1 + SNR) \quad | \quad \underline{\text{límite de Shannon}}$$

W → Hz

SNR → veces (¡no en dB!)



Para calcular el ruido hay 2 opciones:

- Contar las frecuencias positivas

$$\boxed{N = N_0 \cdot W}$$

- Contar las frecuencias positivas y negativas

$$\boxed{N = \frac{N_0}{2} \cdot 2W}$$

- ¿Se puede hacer  $C \rightarrow \infty$ ?

→ Si SNR = ∞, la capacidad se hace arbitrariamente grande.

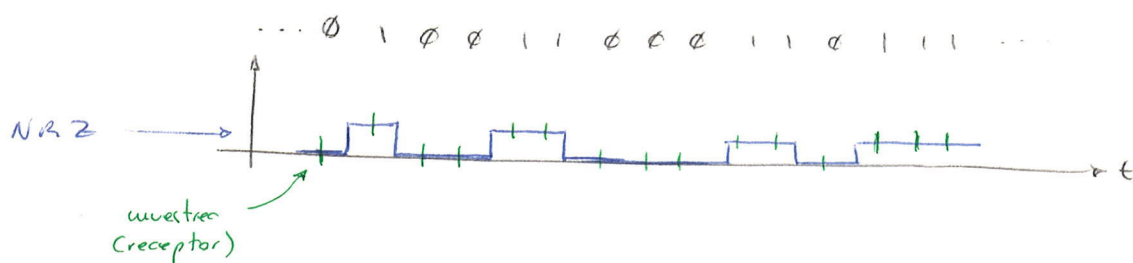
→ Si  $W \uparrow\uparrow$  cuenta también el ruido:

$$C = W \cdot \log_2 \left( 1 + \frac{S}{N_0 \cdot W} \right)$$

$$\boxed{\lim_{W \rightarrow \infty} C = \lim_{W \rightarrow \infty} W \cdot \log_2 \left( 1 + \frac{S}{N_0 \cdot W} \right) = \log_2 e \cdot \frac{S}{N_0}}$$

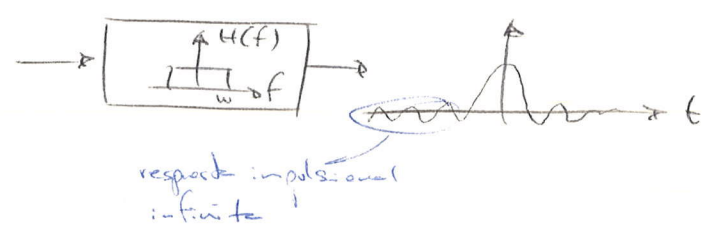
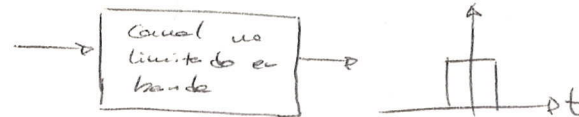
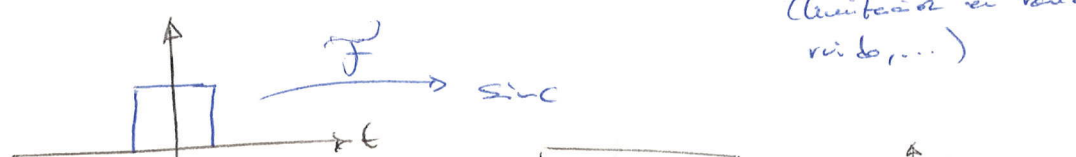
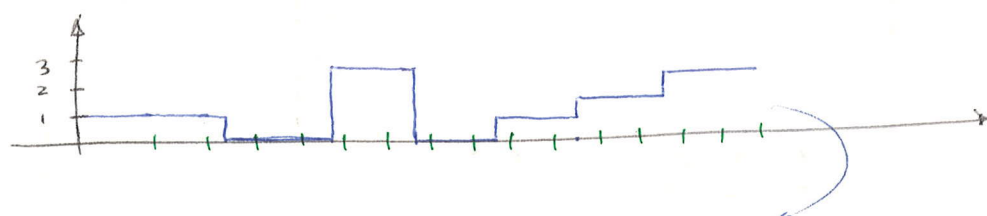
Si se transmite por debajo de la capacidad, la probabilidad de error se puede hacer arbitrariamente baja en una codificación adecuada. Si se transmite por encima, el igual como se codifique, siempre habrá error.

### 1.3 - TRANSMISIÓN EN CANALES LIMITADOS EN BANDA



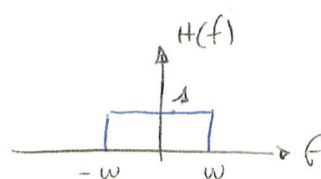
Otras codificaciones:  
Multivitivel

00	— 0V
01	— +1V
10	— +2V
11	— +3V

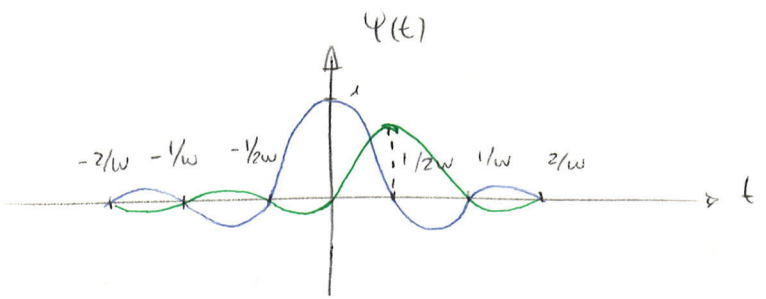


$\Rightarrow$  INTERFERENCIA INTERSÍMBOICA: se solapan las colas de las señales y se suman. (ISI = InterSymbol Interference)

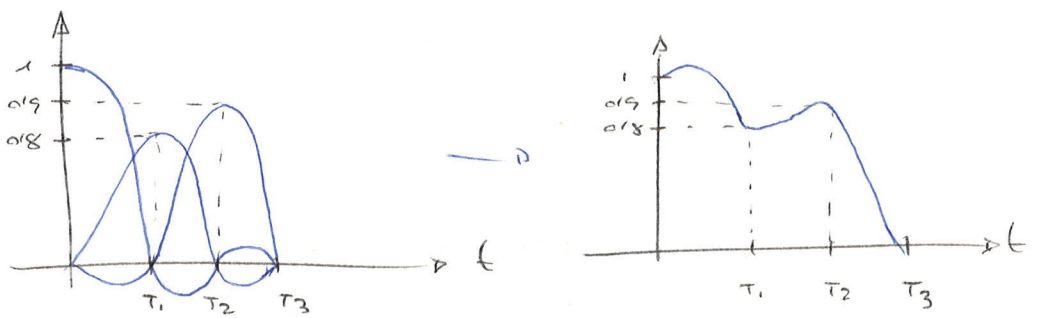
Suponemos un canal como filtro pasa bajo ideal y

$$|H(\omega)| = 1$$


$$\xrightarrow{F^{-1}} \Phi(t) = 2w \cdot \sin 2wt$$



Se podrán transmitir los pulsos separados  $1/2\omega$  de forma que en los picos de una señal, hay ceros de las demás.



$$f_{máx} = 2\omega$$

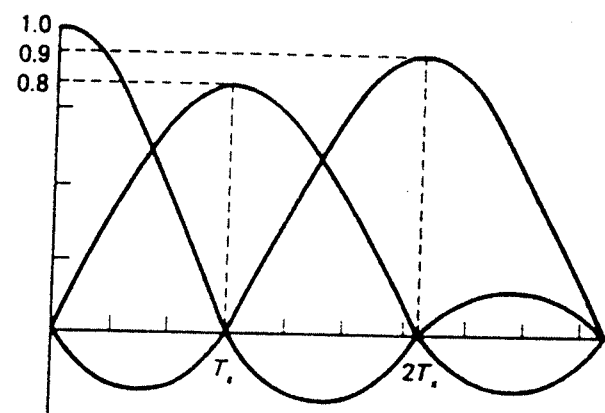
### 1.3. 1- Criterio de Nyquist:

$y(t) \rightarrow$  voltaje recibido = ruido + sinus desfaseados y escalados

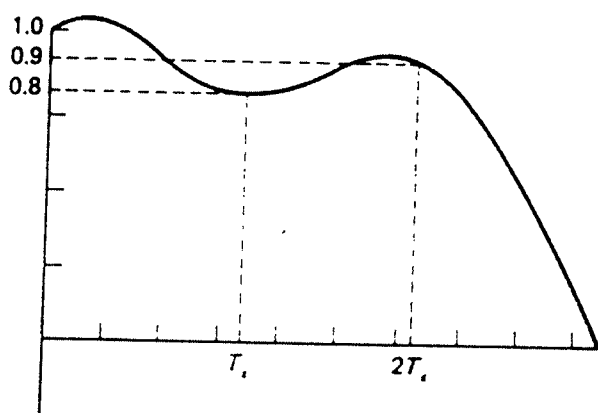
$$y(t) = \sum_k A_k \cdot \Phi(t - kT_s) + u(t)$$

Ler la amplitud en el instante  $t = m \cdot T_s$ :

$$\begin{aligned} y(mT_s) &= \sum_k A_k \Phi((m-k)T_s) + u(mT_s) \\ &= (\cancel{A_m}) \Phi(0) + \underbrace{\sum_{k \neq m} A_k \Phi((m-k)T_s)}_{FSI} + u(mT_s) \\ &\quad \downarrow \\ &\text{la amplitud} \\ &\text{que queremos} \end{aligned}$$



(a)



(b)

$$f_{max} = 2W$$

**Figure 7.13** Sequence of pulses formed by ideal low-pass filter



$\psi(uT_s) = 0 \quad \forall u \neq 0 \Rightarrow ISI=0$

→ Criterio de Nyquist

→ usa la convolución del espectro

$$\text{signal amplitudinaria ideal}$$

$\xrightarrow{\quad} p(t) = \sum_{k=-\infty}^{\infty} s(t - kT_s) \quad \xrightarrow{\quad} P(f) = \frac{1}{T_s} \sum_{k=-\infty}^{\infty} s(f - \frac{k}{T_s})$

$$x(t) \cdot \delta(t - t_0) = x(t_0) \cdot \delta(t - t_0)$$

$$\boxed{\psi(t) \cdot p(t) = \psi(0) \cdot \delta(t)}$$

$\xrightarrow{\quad} \mathcal{F} \quad \xrightarrow{\quad} \mathcal{F}$

$\psi(t) \xrightarrow{\quad} \tilde{\psi}(f)$

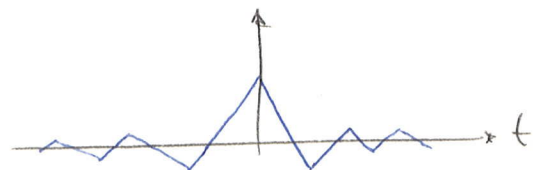
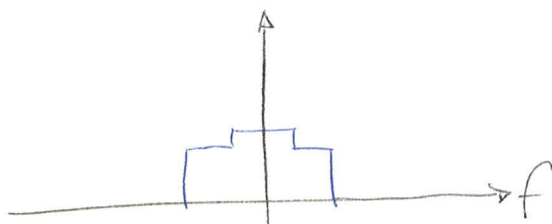
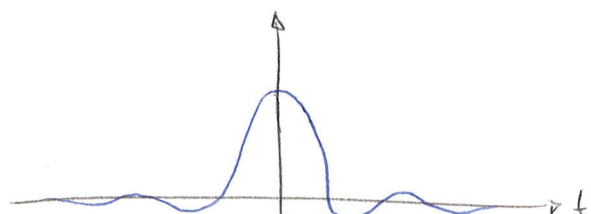
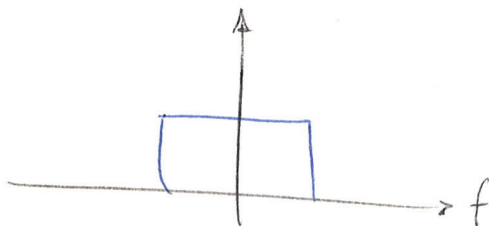
$$\tilde{\psi}(f) * \sum_{k=-\infty}^{\infty} \delta(f - kf_s) = \psi(0)$$

$$\xrightarrow{\quad} f_s \sum_{k=-\infty}^{\infty} \tilde{\psi}(f - kf_s) = \psi(0)$$

función periódica en la frecuencia de periodo  $f_s$ .  
Podemos mirar un solo periodo.

$$\left| \sum_{k=-\infty}^{\infty} \tilde{\psi}(f - kf_s) = \tilde{\psi}_s \cdot \psi(0) \right|$$

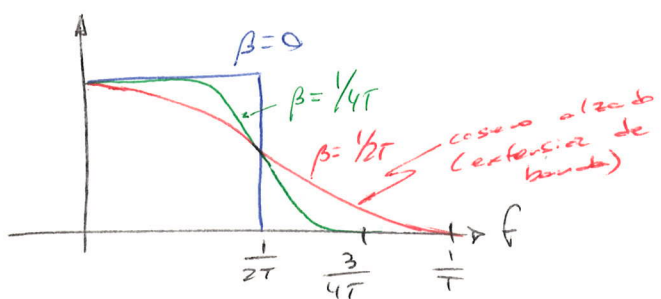
$|f| \leq \frac{1}{2T_s}$



Extender la banda  $\Rightarrow$  más lóbulos temporales con lóbulos temporales más pequeños, por lo que, en caso de error de sincronismo, influyen menos.

El anástero ideal tiene que dar una banda plana en frecuencia.

Caso alto  $\beta$   $\Rightarrow$  respuesta en frecuencia parece un coseno



$$H(f) = \begin{cases} T_s & |f| \leq \frac{1}{2T_s} - \beta \\ \frac{T_s}{2} \left( 1 + \cos \frac{\pi (|f| - \frac{1}{2T_s} + \beta)}{2\beta} \right) & \frac{1}{2T_s} - \beta < |f| < \frac{1}{2T_s} + \beta \\ 0 & |f| > \frac{1}{2T_s} + \beta \end{cases}$$

$\beta$  es lo que extendemos en frecuencia con respecto al caso ideal (exceso de ancho de banda  $\equiv 2\beta T_s$ )

$$\boxed{\alpha = 2\beta T_s}$$

Cuanto mayor sea, más banda hay disponible.

Exceso 50%  $\Rightarrow \alpha = 50\% = 0.5$

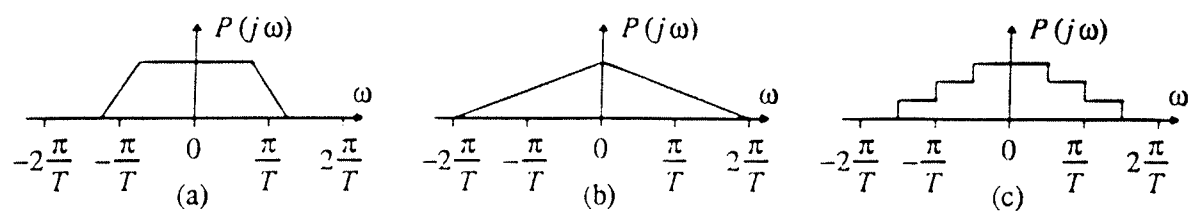
$$W' = 1.5 \cdot W$$

## NYQUIST CRITERION

$$p(t) \sum_{k=-\infty}^{\infty} \delta(t-kT) = p(0) \delta(t)$$

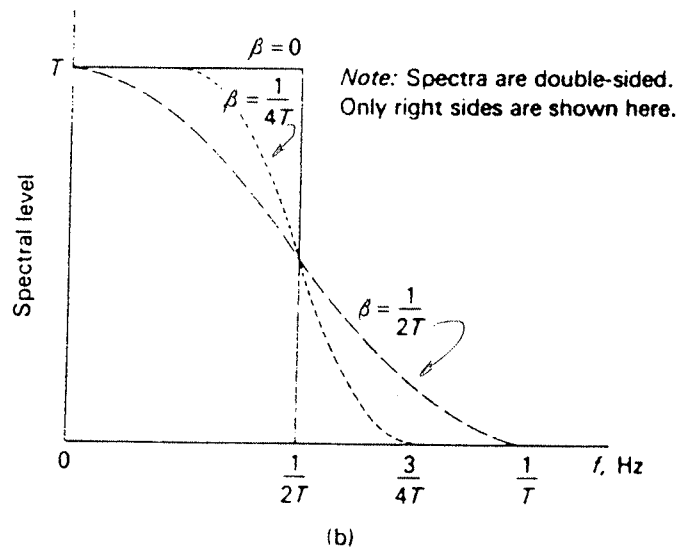
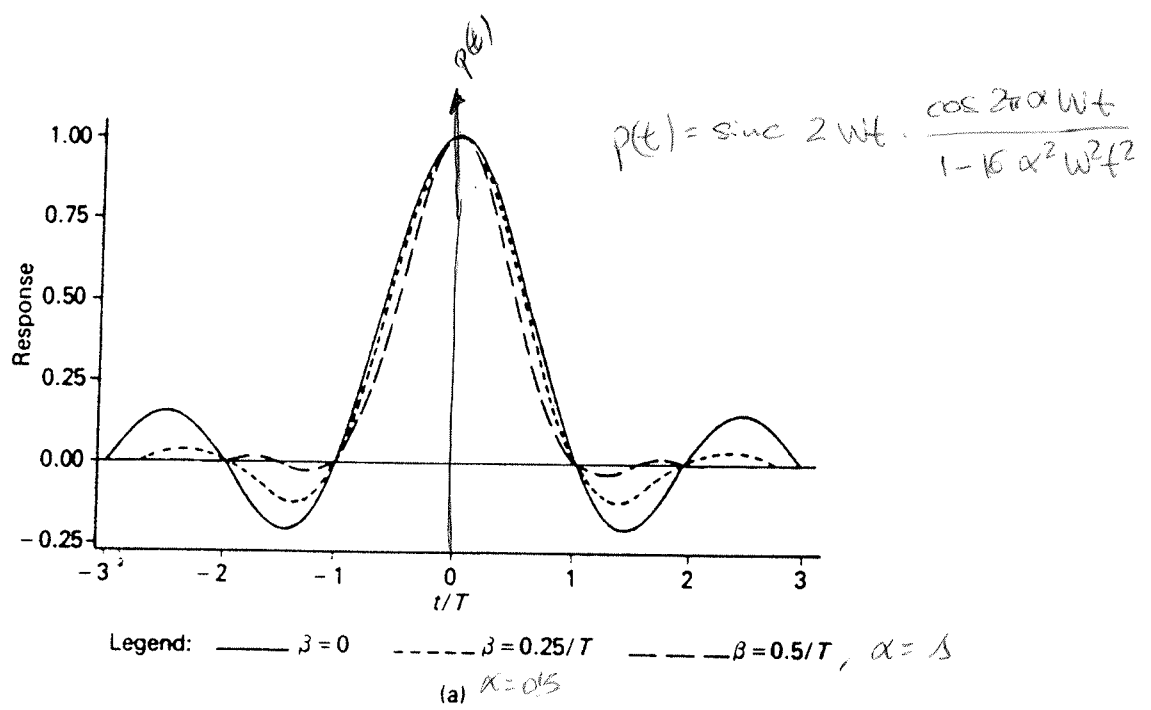
$$p(t) \xrightarrow{F} P(f)$$

$$\sum_{k=-\infty}^{\infty} P(f + \frac{k}{T}) = p(0) T \quad , \quad |f| \leq \frac{1}{2T}$$



**Figure 6-5.** The Fourier transform of some pulses that satisfy the Nyquist criterion.





**FIGURE 7.24** (a) Pulse response for the raised cosine spectra shown in (b)



### 1.3.2- DIAGRAMA DE OJOS

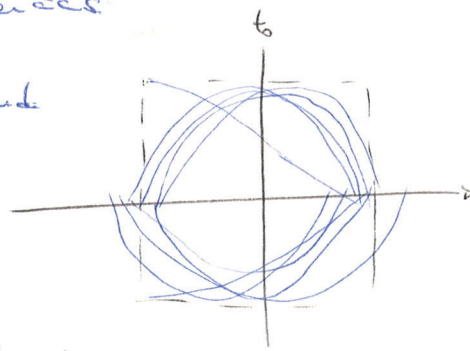
Método empírico de caracterización de sistemas de comunicaciones digitales desde el punto de vista de la frecuencia (o el tiempo) y de las amplitudes

Introducir una secuencia aleatoria en el sistema.

Más bien pseudosecuencias  $\rightarrow$  n bits / palabra =  $n \cdot 2^n$  es la longitud de la secuencia.

Si la persistencia del osciloscopio es suficiente, se verán los trazos de todas las secuencias.

Sistema ilimitado  $\Rightarrow$  banda  
 $\Rightarrow$  cuadrado



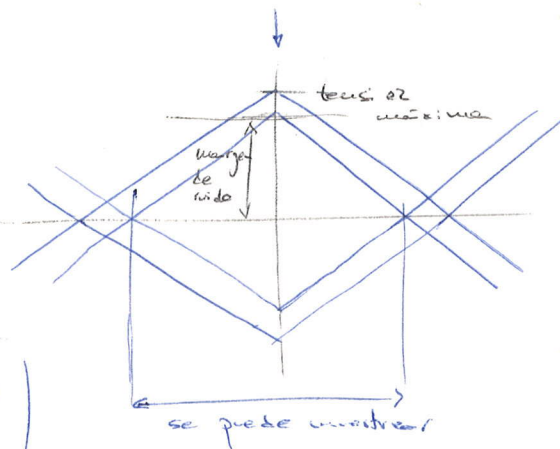
Límite banda  $\Rightarrow$  achinar el ojo

Cuanto más abierto es el ojo, mejor es el sistema.

Sitio en el que el ojo esté más abierto  $\rightarrow$  mejor para visualizar

• Margen de ruido = valor de una traza de ruido para que sea engañosa.

Sistema lineal  
 $\Rightarrow$  Diagrama de ojos simétrico



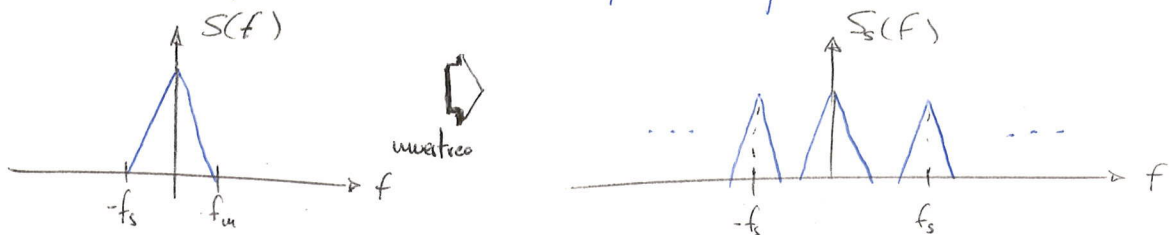
• Generación: aplicar la señal a los planos de desviación vertical del osciloscopio y una onda de diente de sierra con  $R = 1/T$  a los de desviación horizontal.

## 1.4 - Codificación de Fuente

### 1.4.1 - Fuente analógica

#### - Muestreo:

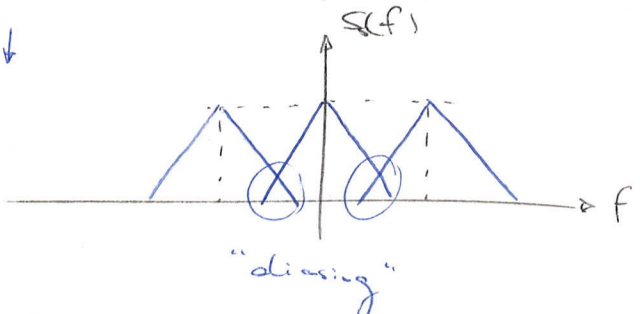
No hace falta ninguna forma de onda específica (cuadrado, triangulares, deltas, ...), sólo que sea periódica.



Operación contraria  $\rightarrow$  interpolación: obtener funciones sinc en cada muestra.  
(filtrado pasa bajo)

#### Slope de espectros:

$f_s \downarrow$   
 $\Rightarrow$  error



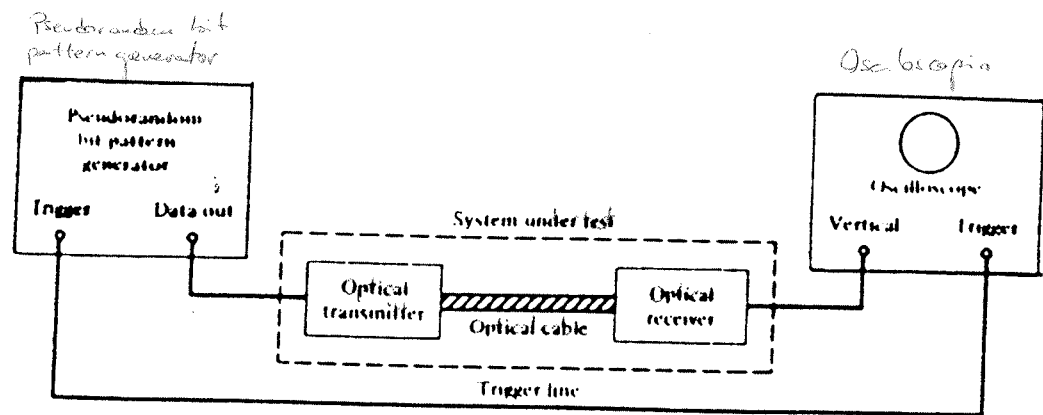
Otra fuente de error: se muestran en tiempo finito  $\Rightarrow$  señal de muestras no periódica. En la práctica no es así, pero en teoría cumple el resultado del Teorema de Muestreo.

#### - CUANTIFICACIÓN:

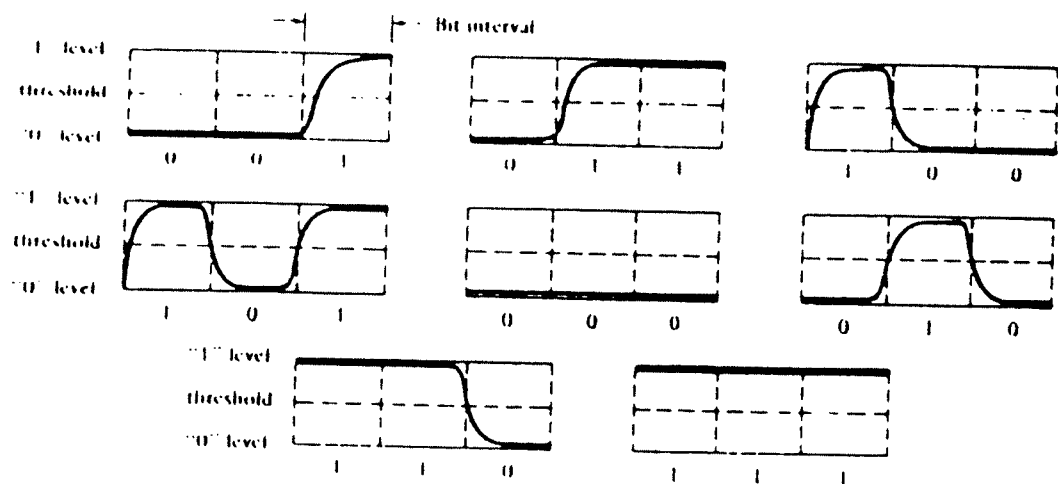
##### \* Cuantificador de onda

\* Cuantificador serie: toma valor de muestra y compara con intervalos, con tantos niveles como bits por muestra

\* Cuantificador paralelo: se toma la muestra y se compara con todos los niveles posibles a la vez.



**FIGURE 8-10**  
Basic equipment used for eye-pattern generation.



**FIGURE 8-12**  
Eight possible 3-bit-long NRZ combinations.



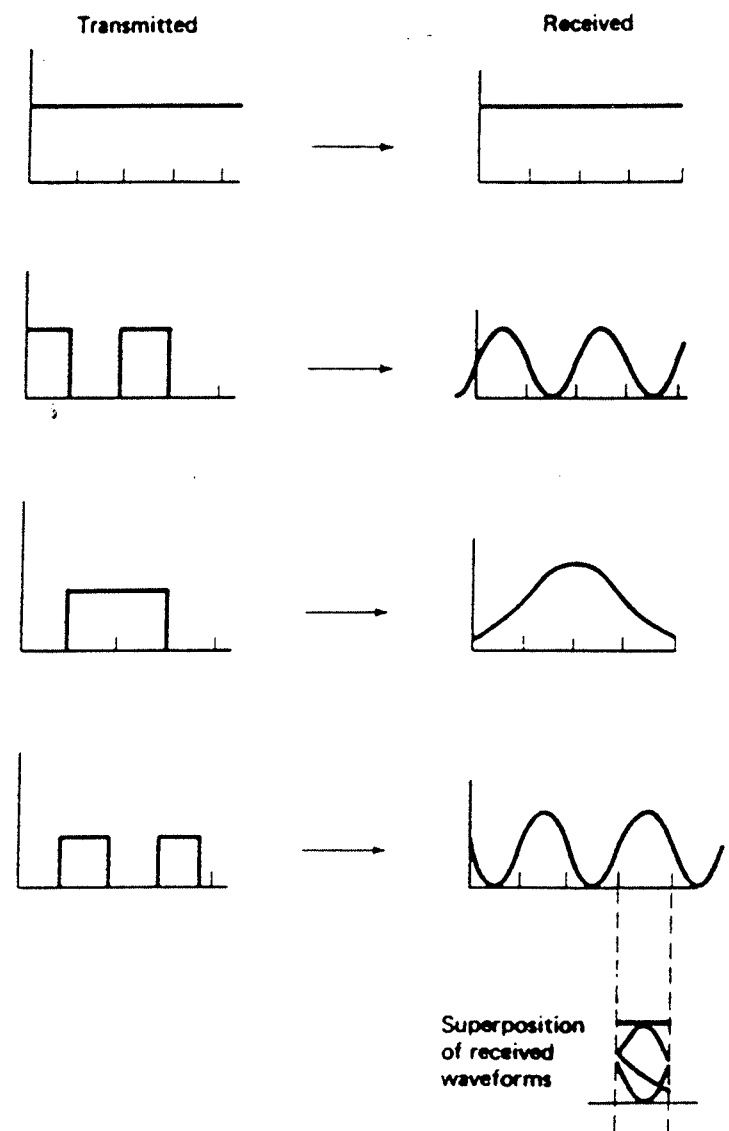
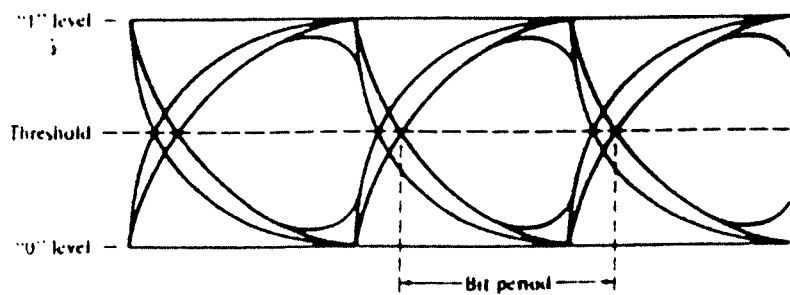
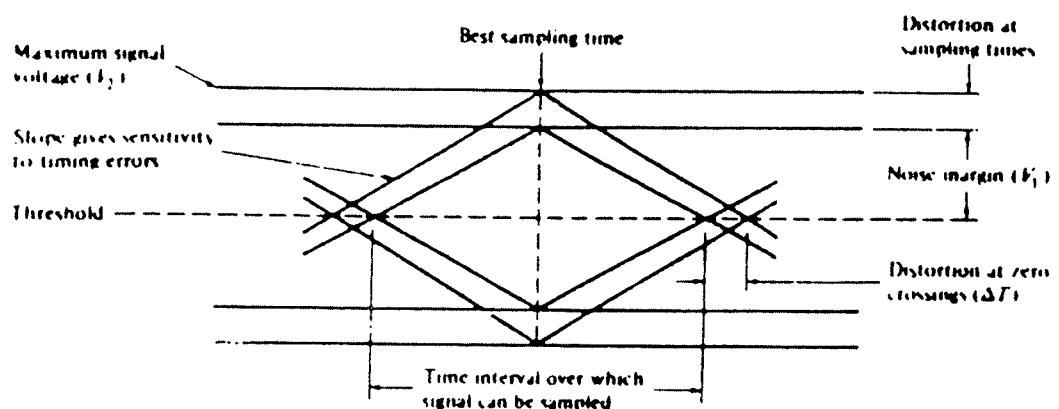


Figure 7.10 Generation of eye pattern





**FIGURE 8-11**  
Sample of an eye-pattern diagram



**FIGURE 8-13**  
Simplified eye-pattern diagram and its interpretation.



- Codificación:

a) PCM (Pulse Code Modulation)

Codificar "tal así"

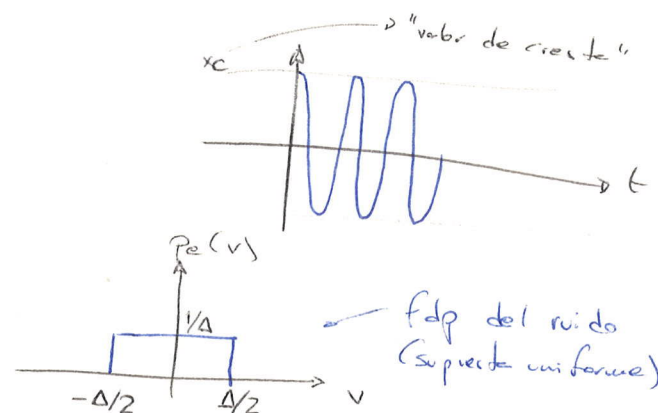
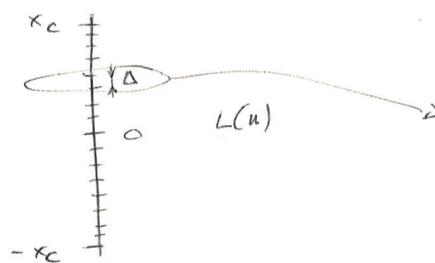
Ejemplo:

Señal de audio,  $s(t) = 3 \cos 500t$

a) SNR de cuantificación para PCM 10 bits

b) Bits necesarios para  $\text{SNR} = 40 \text{ dB}$

$$S = x_{\text{eff}}^2$$



$$N_q = \frac{\Delta^2}{12} \quad (\text{valor cuadrático medio del error})$$

$$\text{SNR} = \frac{x_{\text{eff}}^2}{\frac{\Delta^2}{12}}$$

$$\text{Factor de cresta: } \varphi_c = \frac{x_c}{x_{\text{eff}}}$$

$$\Delta = \frac{2x_c}{L} = \frac{2x_c}{2^n} = \frac{x_c}{2^{n-1}}$$

$$\text{SNR} = \frac{\frac{x_c^2}{\varphi_c^2}}{\frac{x_c^2}{3 \cdot 2^{2n}}} = \frac{3 \cdot 2^{2n}}{\varphi_c^2} = (\text{dB}) = 4.77 + 6n - 20 \log \varphi_c$$

a)  $\boxed{\text{SNR}(\text{dB}, n=10) = 61.77 \text{ dB}}$

b)  $n = \frac{40 - 41.77 + 3}{6} = 6.37 \dots \Rightarrow \boxed{n=7}$

Otro ejemplo:

Sinal vocal 3kHz

PDM L niveles

Error de cuantificación < 1% valor pico-pico

Codig de linea multinivel con 16 niveles de tensión

a) n mínima

$$\Delta \leq 1\% \cdot 2x_c$$

$$\Delta = \frac{2x_c}{L} \leq 0'01 \cdot 2x_c \Rightarrow L \geq 100$$

$$2^n \geq 100 \Rightarrow \underline{\underline{n \geq 7}}$$

b) Sustituir  $\rightarrow$  ¿SNR?

$$q_c = \sqrt{2} \Rightarrow SNR = 43'77 \text{ dB}$$

c) Velocidad mínima de muestreo

$$f_s \geq 6 kHz \quad \underbrace{\quad}_{\text{samples}} \quad (kS/s)$$

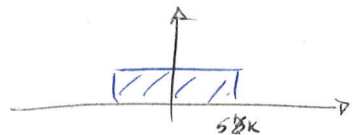
$$\text{Velocidad binaria: } V = 7 \cdot 6000 = 42 \text{ kbps}$$

¿bandas? Codificación multinivel ( $\Rightarrow$  4 bits/nivel)

$$\boxed{r = \frac{42}{4} = 10'5 \text{ subbandas}}$$

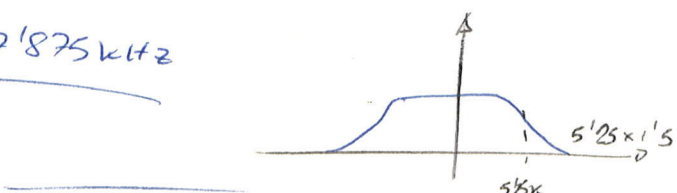
d) BW mínimo para evitar ISI

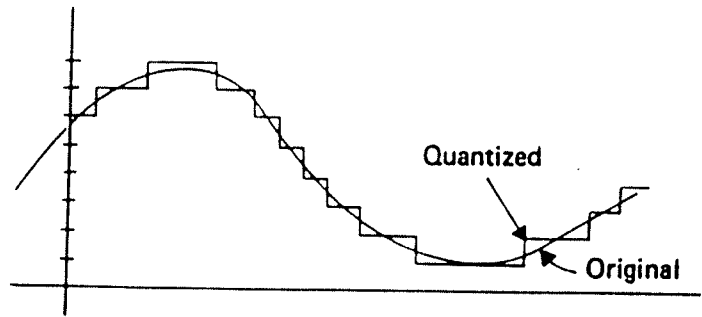
$$r_{max} = 2W \Rightarrow \underline{\underline{W = 5125 \text{ kHz}}}$$



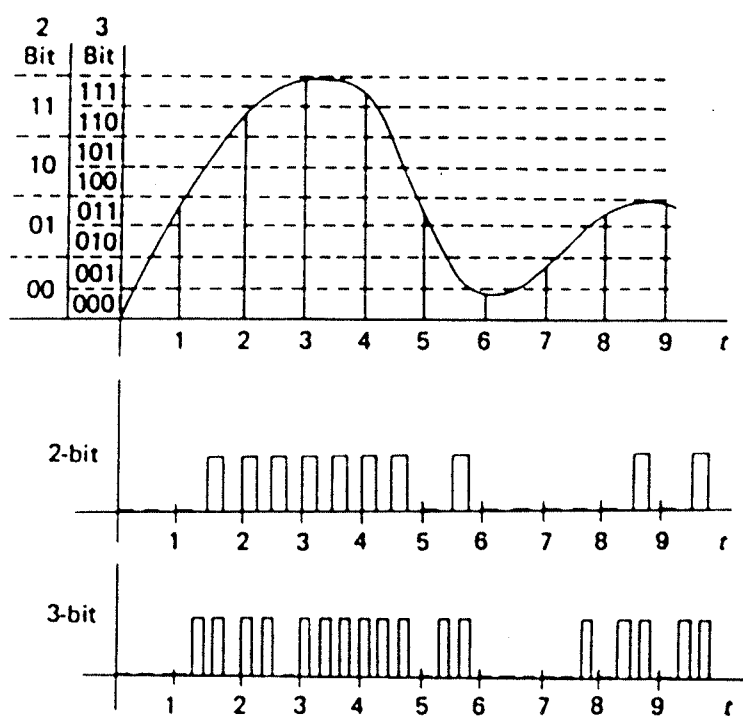
e) ¿Y si se usa corriente alzada en exceso 50%?

$$5125 \text{ kHz} \cdot 1'5 = 71875 \text{ kHz}$$





**Figure 3.8** Staircase approximation to analog signal

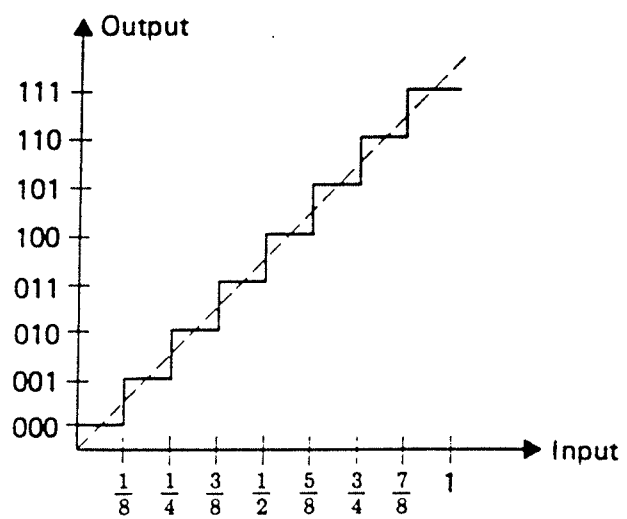


**Figure 3.9** Analog-to-digital conversion



		1
111	$\frac{7}{8}$	
110	$\frac{3}{8}$	
101	$\frac{4}{8}$	
100	$\frac{1}{8}$	
011	$\frac{2}{8}$	
010	$\frac{3}{8}$	
001	$\frac{4}{8}$	
000	$\frac{7}{8}$	0

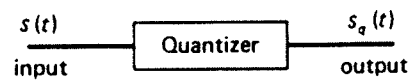
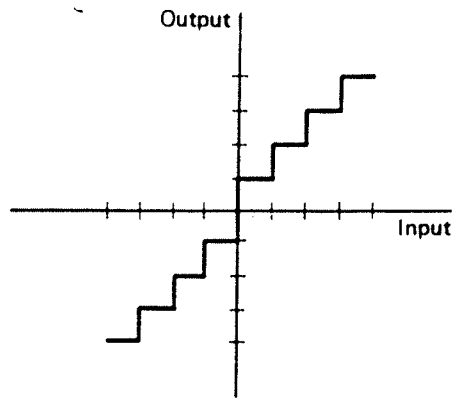
(a)



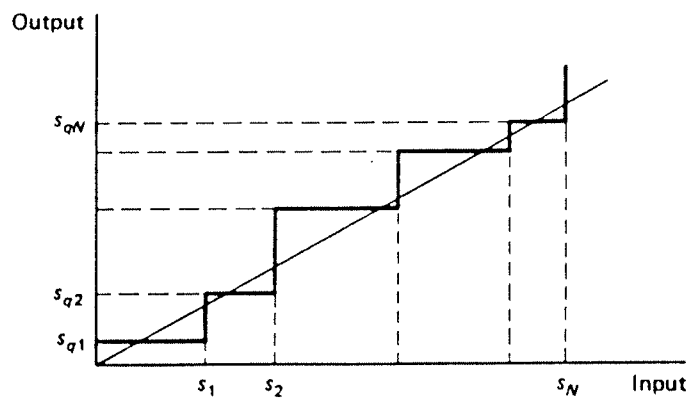
(b)

Figure 3.10 Three-bit PCM

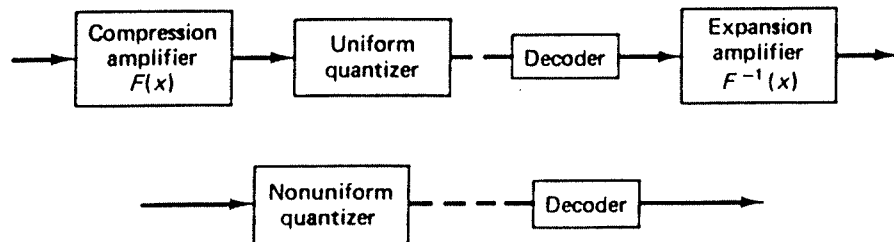




**Figure 3.21** Input-output function for uniform quantizer



**Figure 3.22** Input-output function for nonuniform quantizer

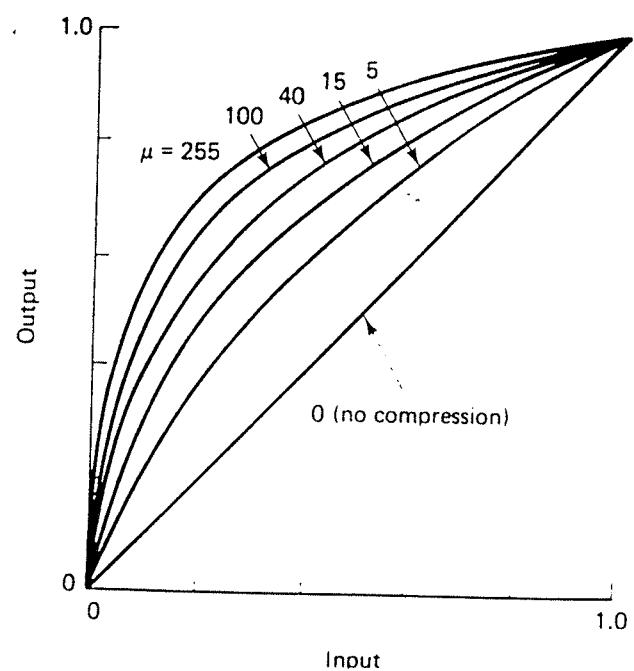


**Figure 3.24** The concept of companding



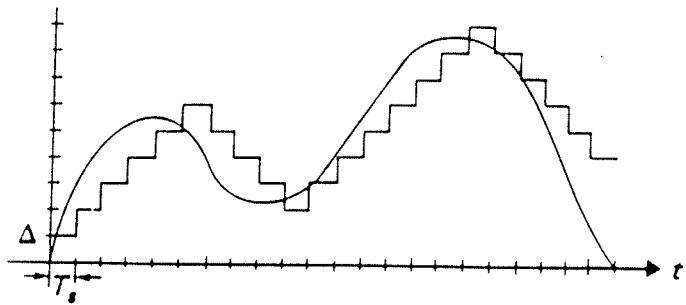
## ***Nonuniform Quantization***

$$F(s) = \text{sgn}(s) \frac{\ln(1 + \mu |s|)}{\ln(1 + \mu)}$$

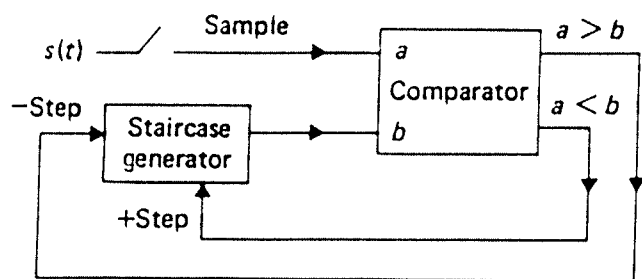


**Figure 3.26** u-law compression curves



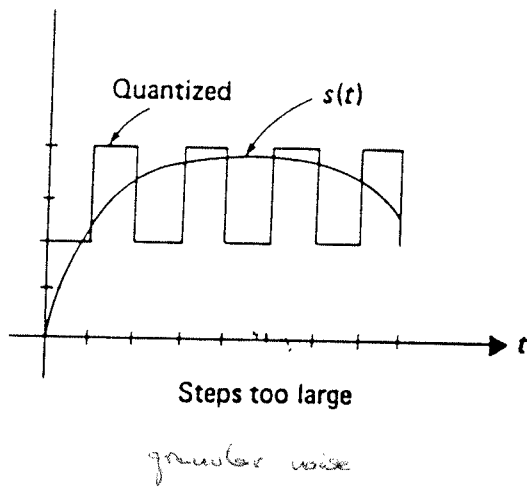
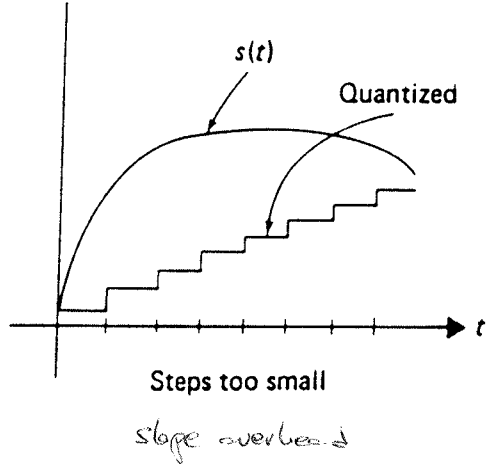


**Figure 3.37** Analog waveform and staircase approximation



**Figure 3.38** Delta A/D converter





**Figure 3.39** Consequences of poor choice of delta step size



Vale, tambien hay cuantificación no uniforme.

Codificar la diferencia entre 2 muestras consecutivas  $\Rightarrow$  más rápido

$\rightarrow$  MODULACION DELTA

Parámetros críticos:

- frecuencia de muestra
- tamaño del escalor,  $\Delta \Rightarrow$  problemas } slope overload ( $\Delta +$ )  
} granular visible ( $\Delta \downarrow$ )

$\curvearrowleft$   $\Rightarrow$  solución: MODULACION DELTA ADAPTATIVA

Se incrementa el tamaño del escalor hasta que cambie el signo de la diferencia

$\rightarrow$  sug algorithm

$\rightarrow$  space shuttle algorithm: se vuelve al tamaño de paso inicial cuando cambia el signo

### 1.4.2- Codificación entropica de una fuente digital

Fuente digital  $\rightarrow$  genera mensajes de un alfabeto finito

$$P_0 = 1/2 \quad m_0 \rightarrow 00$$

$$P_1 = 1/4 \quad m_1 \rightarrow 011 \quad \text{escudo: } m_0 m_1 m_0 m_1 m_0 \dots$$

$$P_2 = 1/8 \quad m_2 \rightarrow 010 \quad 00 \quad 01 \quad 00 \quad 01 \quad 00 \dots$$

$$P_3 = 1/8 \quad m_3 \rightarrow 11$$

↓

Largitud media = 2 bits / palabra

Se puede mejorar

Ejemplo:

$$m_0 \rightarrow 1 \quad P_0 = 1/2$$

$$m_1 \rightarrow 10 \quad P_1 = 1/4$$

$$m_2 \rightarrow 01 \quad P_2 = 1/8$$

$$m_3 \rightarrow 00 \quad P_3 = 1/8$$

$$\begin{aligned} m_0 m_2 &\rightarrow 101 \\ m_3 &\rightarrow 101 \end{aligned} \quad \left\{ \text{no es único} \right. \quad (\text{Cm. Analogías})$$

$\Rightarrow$  no vale

Otra codificación:

$$\begin{aligned} u_0 &\rightarrow 1 \\ u_1 &\rightarrow \varnothing 1 \\ u_2 &\rightarrow \varnothing \varnothing 1 \\ u_3 &\rightarrow \varnothing \varnothing \varnothing 1 \end{aligned} \quad \left. \begin{array}{l} \\ \\ \\ \end{array} \right\} \text{instantánea}$$

Otras más:

$$\begin{aligned} u_0 &\rightarrow \varnothing \\ u_1 &\rightarrow \varnothing 1 \\ u_2 &\rightarrow \varnothing \varnothing 1 \\ u_3 &\rightarrow \varnothing \varnothing \varnothing 1 \end{aligned} \quad \left. \begin{array}{l} \\ \\ \\ \end{array} \right\} \text{no instantáneas:}$$

$\varnothing \mid 11 \mid \varnothing \mid 111$   
 u<sub>0</sub> u<sub>1</sub> u<sub>2</sub> u<sub>3</sub> ! u<sub>0</sub> u<sub>1</sub> u<sub>2</sub> u<sub>3</sub> !

Propiedades:

- Universal (necesaria)
- Inmediata (conveniente)

Ejemplo:

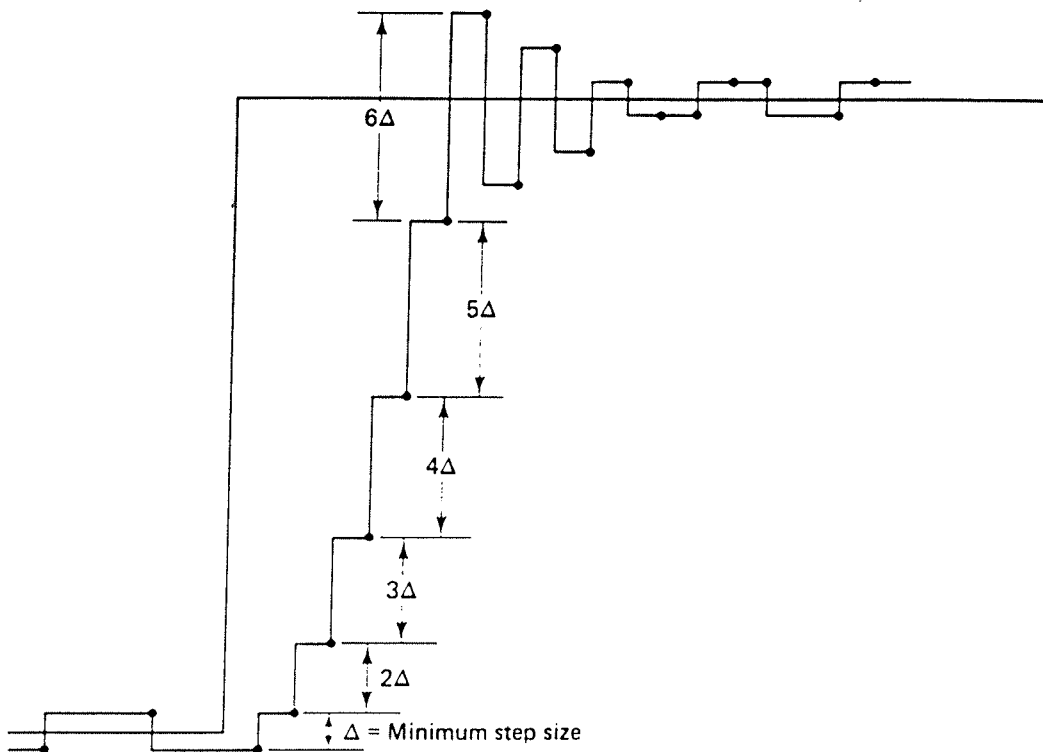
- $\varnothing, \varnothing 1, \varnothing \varnothing 1, \varnothing \varnothing \varnothing 1, 1\varnothing 1$ : no universal
- $11\varnothing, 111, 1\varnothing 1, \varnothing 1$ : universal, inmediato
- $\varnothing, \varnothing 1, \varnothing \varnothing 1, \varnothing \varnothing \varnothing 1$ : universal, e inmediato

Propiedad:

La entropía de una fuente digital minorará la longitud media de cualquier codificación digital posible.

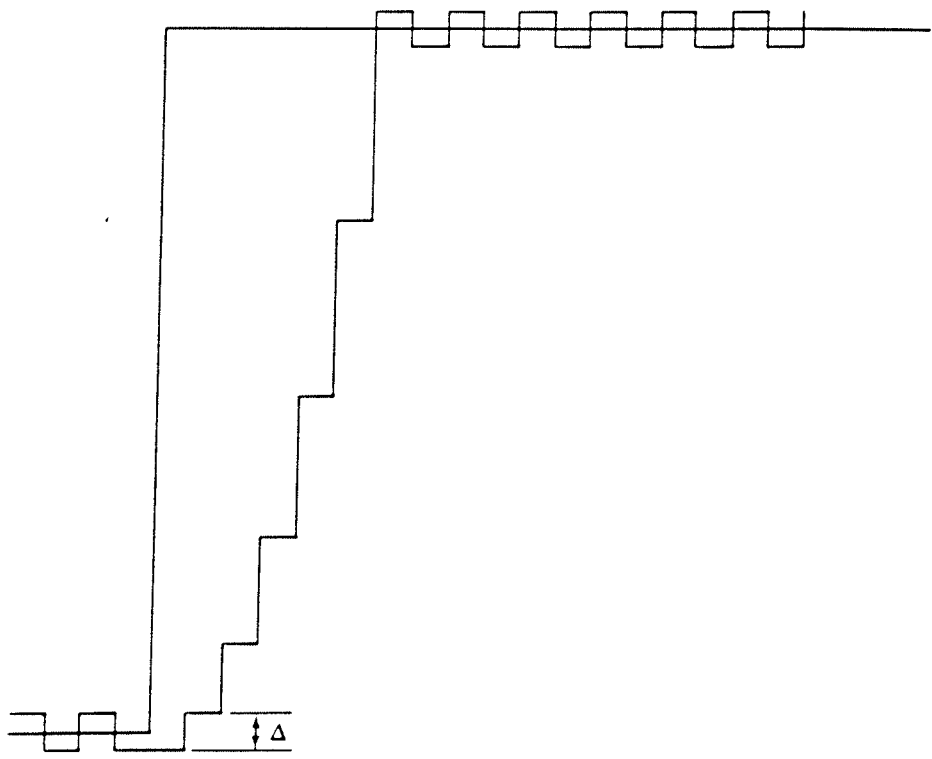
$$\boxed{L(\text{bits}) \geq H}$$

## *Adaptive Delta Modulation*



**Figure 3.40** Song algorithm





**Figure 3.41** Space Shuttle algorithm



a) HUFFMAN

- Se ordenan los mensajes por orden decreciente de probabilidades

$$\begin{array}{l} w_0 \xrightarrow{(s)} 1/2 \xrightarrow{(s)} 1/2 (\emptyset) \\ w_1 \xrightarrow{1/4(\emptyset)} 1/4 (\phi) \\ w_2 \xrightarrow{1/8(1\emptyset)} > 1/4 (1) \\ w_3 \xrightarrow{1/8(11)} \end{array}$$

- Se toman los 2 menores y se suman. Se ordenan otra vez.

Se hace hasta que queden 2 términos.

- Se asignan unos y ceros, volviendo hacia atrás, dejando fijo el cual si se lo habrá variado y bifurcando si se lo sumó.

$$\left\{ \begin{array}{l} w_0 \rightarrow \emptyset \\ w_1 \rightarrow 1\emptyset \\ w_2 \rightarrow 11\emptyset \\ w_3 \rightarrow 111 \end{array} \right.$$

$$\underline{\text{longitud media}} = \sum p_i \cdot l_i = \frac{1}{2} \cdot 1 + \frac{1}{4} \cdot 2 + \frac{1}{8} \cdot 3 + \frac{1}{8} \cdot 3 = \frac{7}{4} = 1.75 \text{ bits}$$

$$H = \sum p_i \cdot \log_2 \frac{1}{p_i} = \frac{1}{2} \cdot 1 + \frac{1}{4} \cdot 2 + \frac{1}{8} \cdot 3 + \frac{1}{8} \cdot 3 = \frac{7}{4} = 1.75$$

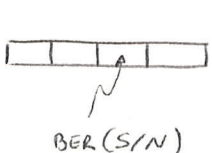
Es la mejor codificación posible.

b) SHANNON-FANO

$m_0$	$1/2$	$(1/2)$	$\textcircled{0}$	$\rightarrow m_0 = \emptyset$
$m_1$	$1/4$	$(1/2)$	$\textcircled{1}$	$1/4$
$m_2$	$1/8$		$1/8$	$(1/4)$
$m_3$	$1/8$		$1/8$	$(1/4)$

Es igual que Huffman

### 1.5 - CODIFICACIÓN DE CANAL



Objetivo: reducir el BER

Alternativas:

- Incrementar S/N
- Codificar

A: ¿qué probabilidad de error?

$$G(\text{dB}) = \text{SNR} (\text{sin codif.}) - \text{SNR} (\text{con codif.})$$

Ganancia del código  $\rightarrow$

Word	Prob.	Prob.	Prob.	Prob.
$s_5$	$\frac{1}{2}$	$\frac{1}{2}$	$\frac{1}{2}$	$\frac{1}{2} \underline{0}$
$s_3$	$\frac{1}{4}$	$\frac{1}{4}$	$\frac{1}{4} \underline{10}$	$\frac{1}{2} 1$
$s_2$	$\frac{1}{8}$	$\frac{1}{8} \underline{110}$	$\frac{1}{4} 11$	
$s_1$	$\frac{1}{16} \underline{1110}$	$\frac{1}{8} 111$		
$s_4$	$\frac{1}{16} \underline{1111}$			

$s_1 \rightarrow 1110$

$s_2 \rightarrow 110$

$s_3 \rightarrow 10$

$s_4 \rightarrow 1111$

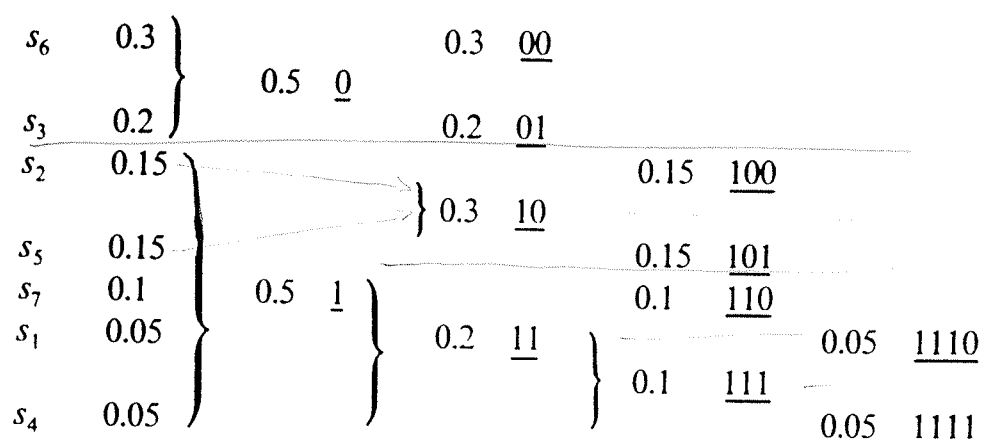
$s_5 \rightarrow 0$



Find the Shannon-Fano code for the following seven messages with probabilities as indicated:

$$\begin{array}{lllllll} s_1 & s_2 & s_3 & s_4 & s_5 & s_6 & s_7 \\ 0.05 & 0.15 & 0.2 & 0.05 & 0.15 & 0.3 & 0.1 \end{array}$$

**Solution.** We order these and subdivide as follows. The code words are underlined.



The resulting code is

$s_1$	1110
$s_2$	100
$s_3$	01
$s_4$	1111
$s_5$	101
$s_6$	00
$s_7$	110



## 1.5.1- Códigos de bloques

### Control de paridad.

$w_0 \quad 000$

$w_1 \quad 001$

$w_2 \quad 010$

$w_3 \quad 011$

$w_4 \quad 100$

$w_5 \quad 101$

$w_6 \quad 110$

$w_7 \quad 111$

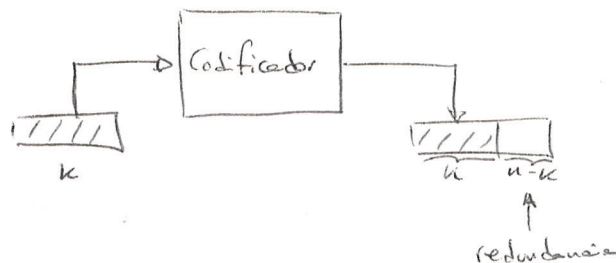
Si se produce un error, con este codificador, no nos enteramos, ya que la palabra cambiada pertenece al código.

Si la distancia mínima es 1, no se pueden detectar errores

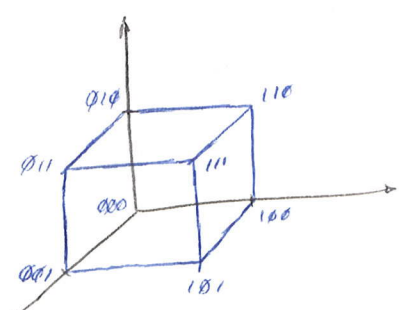
- Distancia de Hamming entre 2 palabras: número de bits que difieren entre 2 palabras. ( $d_H$ )

$$\text{ej: } \begin{array}{l} w_1 \ 001 \\ w_1 \ 100 \end{array} \rightarrow d_H = 2$$

Código de bloques:  $B(n, k)$



$$2^k \text{ palabras} \longrightarrow 2^n$$



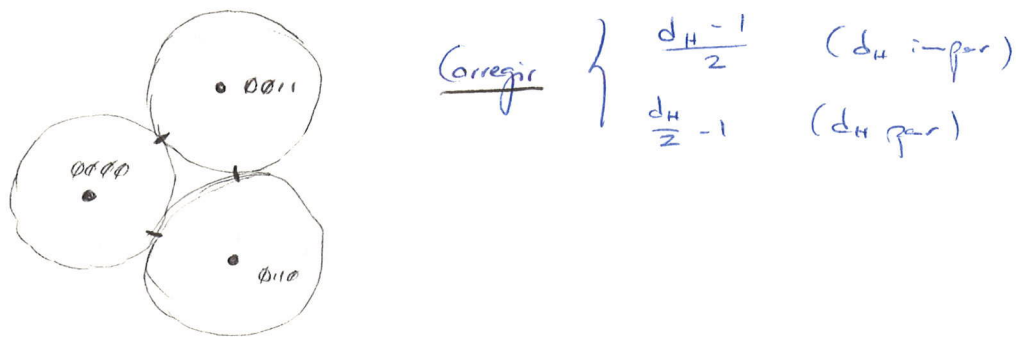
M	R
000	0
001	1
010	1
011	0
100	1
101	0
110	0
111	1

$\Rightarrow$  distancia mínima = 2

detectar pero no corregir

detectar errores sólo en 1 bit

Si la distancia mínima de un código es  $d_H$ , se pueden detectar errores en hasta  $d_H - 1$  bits



### Decisión de redundancia

Hay que transmitir más rápido  $\Rightarrow$  señal más corta  $\Rightarrow$   
 $\Rightarrow$  menor energía  $\Rightarrow$  menor SNR  $\Rightarrow$  más pe

Ejemplo:

Supongamos un código de bloques capaz de corregir  $E$  bits y longitud  $n$  bits. ¿De cuántas palabras uno máximo contiene?

$2^n$  palabras de  $n$  bits

$$\binom{n}{0} + \binom{n}{1} + \dots + \binom{n}{E} = \text{todas las palabras que difieren de la original hasta en } E \text{ bits}$$

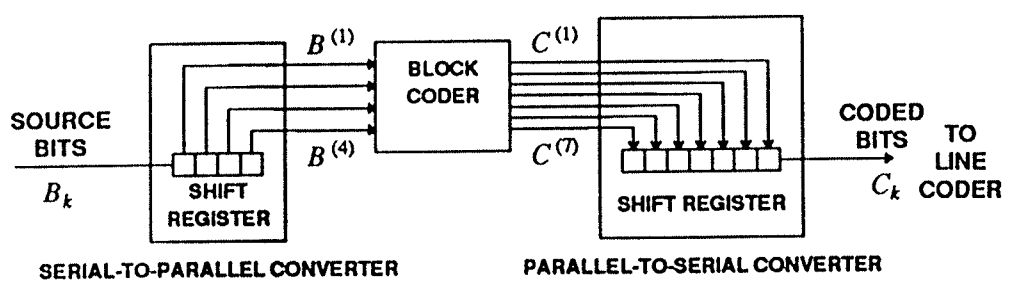
Corregir  $E$  errores con palabras de  $n$  bits

$$N \leq \frac{2^n}{\sum_{i=0}^E \binom{n}{i}}$$

teorema de Hamming sobre compactación de los errores

( $N$ : número de palabras código)

Son códigos muy malos para sistemas limitados en banda.



**Figure 11-5.** A block coder collects  $k$  incoming bits in a shift register, codes them, and shifts them out serially to the line coder. The example shown is a  $(n, k) = (7, 4)$  block code.



## Ejemplos:

- Distancia mínima
  - ¿Errores de bit que pueden detectar y corregir?

$\text{Geg } \lambda: \phi_{111\bar{0}01}, 11\bar{0}\bar{0}1\bar{0}1, \phi\bar{0}1\bar{0}111, 1\bar{0}111\bar{0}0$

Q<sup>6</sup> Lg 2: \$111000, 100000000, 9910000, 9100000

$$\left\{ \begin{array}{l} S_H(u_1, u_2) = 4 \\ S_H(u_1, u_3) = 4 \\ S_H(u_1, u_4) = 4 \\ S_H(u_2, u_3) = 4 \\ S_H(u_2, u_4) = 4 \\ S_H(u_3, u_4) = 4 \end{array} \right.$$

evidig

$$d_{\text{tun}} = 4$$

detector 3 bits erroneous  
correct 1 bit erroneous

$$\left. \begin{array}{l} S_4(u_1, u_2) = 4 \\ S_4(u_1, u_3) = 4 \\ S(u_1, u_4) = 1 \\ S(u_2, u_3) = 4 \\ S(u_2, u_4) = 3 \\ S(u_3, u_4) = 5 \end{array} \right\} 2$$

$$d_{4\min} = l$$

detector  $\emptyset$  hits corners  
corrigir  $\emptyset$  hits evanesc

### Ejemplo:

Codage de blocs de  $n$  bits au parité par  $B(n, k)$

Calcular la probabilidad de aceptación de una palabra (throughput) teniendo en cuenta que la probabilidad de error por bit es BER

PCA ("Code Acceptance")

Cteudre sent: b lever  
u arbitrairen enfe grande?

$1 \boxed{1 \ 2 \ 3} \dots 1 \ n$

↑  
BER

$$P_{\text{ca}} = (1 - \text{BER})^n + \left| \binom{n}{2} (1 - \text{BER})^{n-2} (\text{BER})^2 + C_{n,4} (1 - \text{BER})^{n-4} \text{BER}^4 + \dots \right|_n$$

muy pequeño

$$\approx (1 - \text{BER})^n$$

Si  $n$  se hace muy grande, disminuye la probabilidad de aceptar una palabra.

$\text{BER} = f(\text{SNR}) \rightarrow$  si  $n \uparrow$ , la duración de los bits es menor (igual régimen binario)  $\rightarrow \text{SNR} \downarrow \Rightarrow \text{BER} \uparrow$

Ejemplo:

$$B(4,3)$$

$$\text{BER} = 5 \cdot 10^{-3}$$

a) (Hallar la probabilidad de false alarm (hay errores pero no me entero),  $P_{\text{FA}}$ )

b) Probabilidad de detección  $\rightarrow$  al revés: no hay errores y crees que sí

$$P_{\text{FA}} = C_{n,2} (1 - \text{BER})^{n-2} \cdot \text{BER}^2 + C_{n,4} (1 - \text{BER})^{n-4} \cdot \text{BER}^4$$

$$= \binom{4}{2} (1 - \text{BER})^2 \cdot \text{BER}^2 + \binom{4}{4} (1 - \text{BER})^0 \cdot \text{BER}^4$$

$$= 6 \cdot (1 - \text{BER})^2 \cdot \text{BER}^2 + \text{BER}^4$$

$$\approx 6 \cdot \text{BER}^2 = 150 \cdot 10^{-6} = 15 \cdot 10^{-4}$$

$$P_{\text{detección}} = \binom{4}{1} (1 - \text{BER})^3 \cdot \text{BER} + \binom{4}{3} (1 - \text{BER}) \cdot \text{BER}^3$$

$$= 4 \cdot (1 - \text{BER})^3 \cdot \text{BER} + 4 \cdot (1 - \text{BER}) \cdot \text{BER}^3$$

$$\approx 4 \cdot \text{BER} = 2 \cdot 10^{-2}$$

Ejerci:

Imagen de TV en blanco y negro  $\rightarrow$  211.000 pixeles

(PIXEL = Picture Element)

8 niveles de brillo (equiprobables)

- ¿Cuánta información tiene la imagen?
- ¿Régimen binario si se envían 30 cuadros/s?
- Si el espaciado consta de 50.000 entradas de diccionario (111...) equiprobables, calcular la información de 1000 palabras
- ¿Es verdad que una imagen vale más que 1.000 palabras? (11111...)

- 8 niveles  $\Rightarrow$  3 bits (son equiprobables)

$$I(\text{bits}) = 211.000 \cdot 3 \text{ bits/pixel} = 633.000 \text{ bits}$$

$$b) R = 633.000 \cdot 30 = 18.990.000 \text{ bps}$$

$$c) P = \frac{1}{50.000} \Rightarrow I(\text{palabras}) = \log_2 50.000 = 15'67 \text{ bits/palabra}$$

$$I_{1000} = 15'61 \text{ kbytes}$$

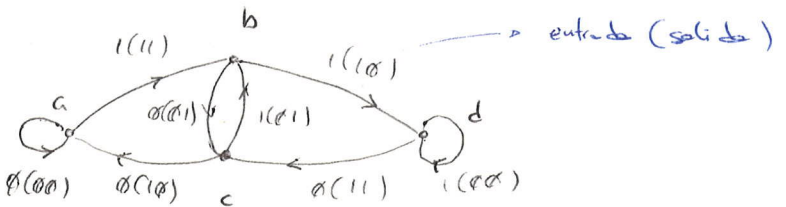
- Pozí

## 1.5.2- Códigos convolucionales

Incorporar memoria para corrección

No implican necesariamente añadir bits adicionales

Algoritmos:



No sería posible obtener la secuencia  
"1111"

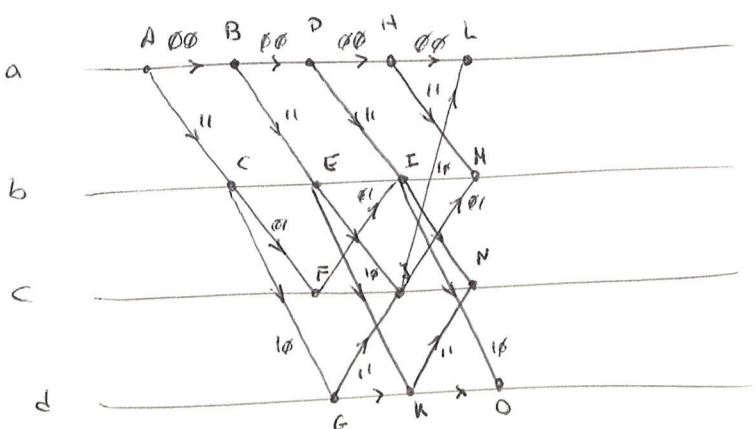
Se miden las distancias de Hamming entre la secuencia recibida y todas las secuencias posibles.

Cada camino de una distancia  $\rightarrow$  elegir la más corta  
(algoritmo de Viterbi)

Se puede combinar codificación de bloques y convolucional  $\rightarrow$  Trellis

## 1.5.3- Trellis (Modelo de codificación)

Diagrama de rejilla

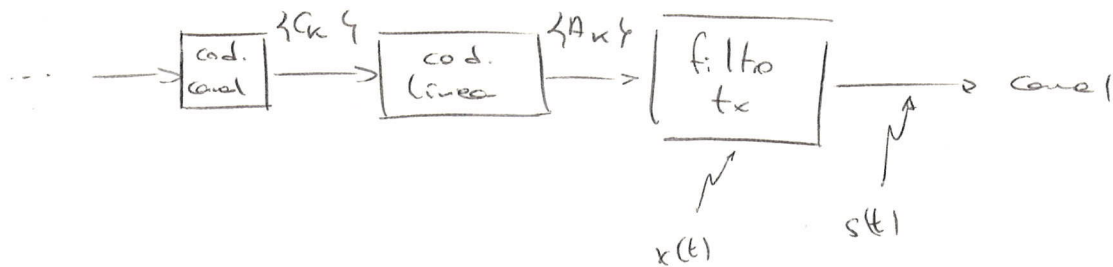


el número de ramas crece  
de forma exponencial ( $\rightarrow$  de un punto a otro siempre  
aparecen 2 ramas)  
nuevas

Trellis  $\rightarrow$  codificador convolucional sobre algunos bits y bloque  
para otros

## 1.6 - CODIFICACIÓN DE LÍNEA

Persigue facilitar el sincronismo con el receptor y darle a la señal una conformación espectral idéntica al transmisor de la fuente de transmisión.

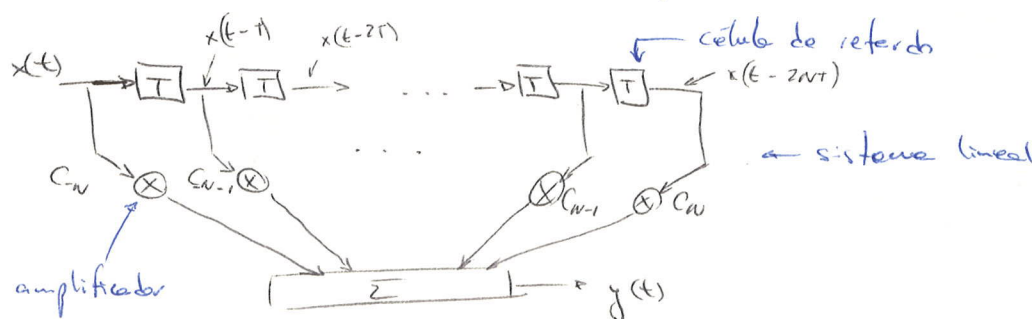


$$S_{ss}(f) = S_{xx}(f) \cdot C(f)$$

(transpuesta)

## 1.7 - IGUALACIÓN. FILTRO TRANSVERSAL

Hacer que la salida cumple algo (como el criterio de Nyquist)



$$h(t) = C_N \cdot \delta(t) + C_{N-1} \cdot \delta(t-T) + \dots + C_1 \cdot \delta(t-(N-1)T)$$

$$= \sum_{n=1}^N C_n \cdot \delta(t - (n+N-1)T)$$

$$H(f) = \mathcal{F}\{h(t)\} = \sum_{n=-N}^N C_n \cdot e^{-j\omega(n+N-1)T} = e^{-j\omega NT} \cdot \sum_{n=-N}^N C_n \cdot e^{-j\omega nT}$$

conseguir la función de la frecuencia que se quiere

Es muy sencillo, lineal y adaptativo (cambiando los Cw si no es autónomico).

Problema: sincronización

- símbolo
- palabra
- frame

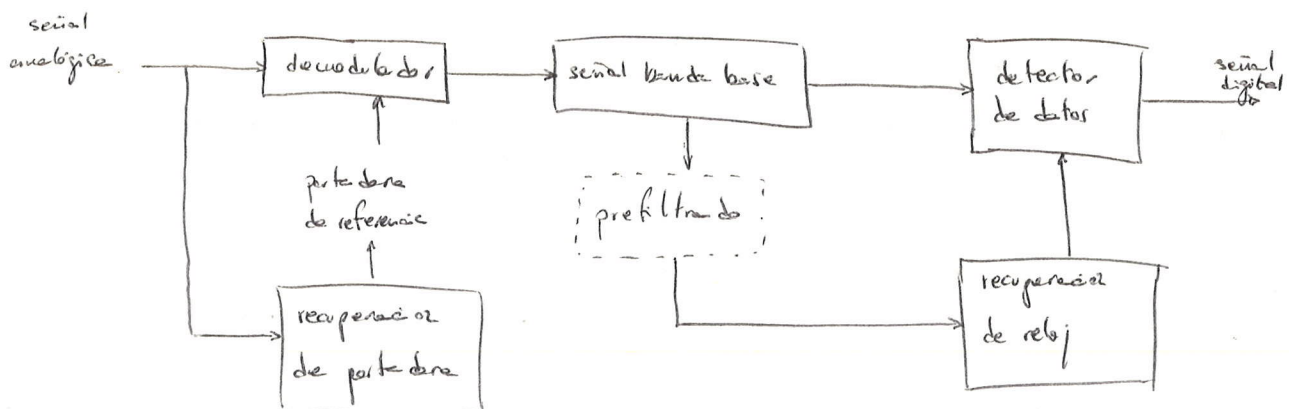
crítico en comunicaciones digitales

- averiguar la frecuencia de la moduladora  
(sincronización física).

Con circuitos PLL

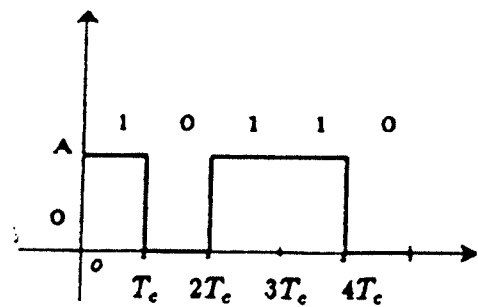
- sincronización de símbolo → sincronización de palabra
- sincronización de bit

Los códigos RZ permiten transmitir el reloj original



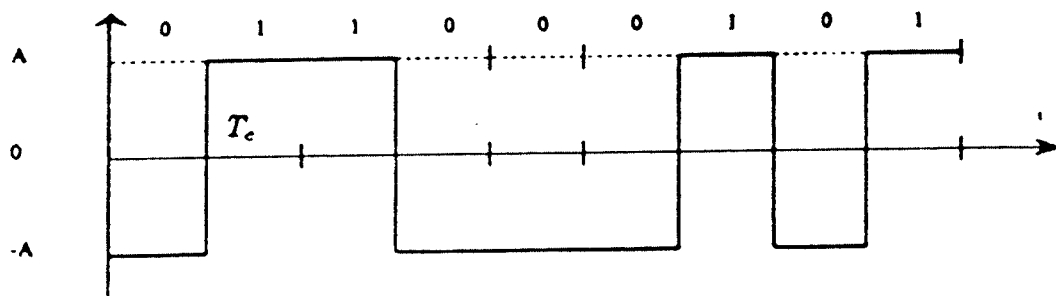
Modificación de los Cw:

- automática: una vez por comunicación
- adaptativa: minimizando el error, mediando los efectos constanteamente.



**Figura 1.3: Código UNIPOLAR-NRZ**

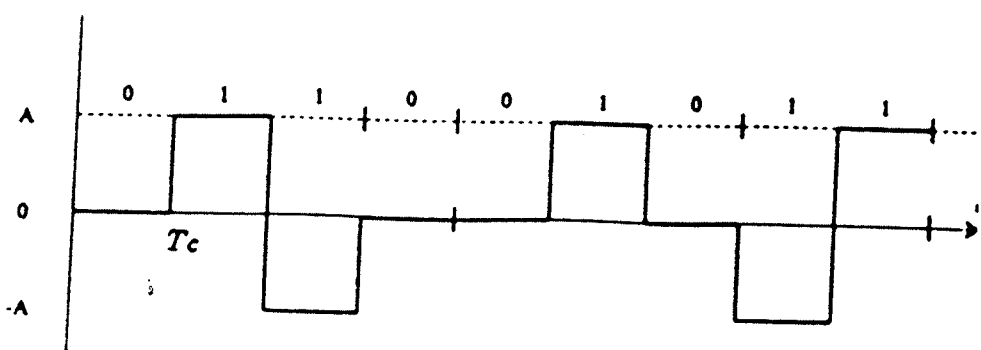
(componente continua  $A/2$ )



**Figura 1.4: Código POLAR-NRZ**

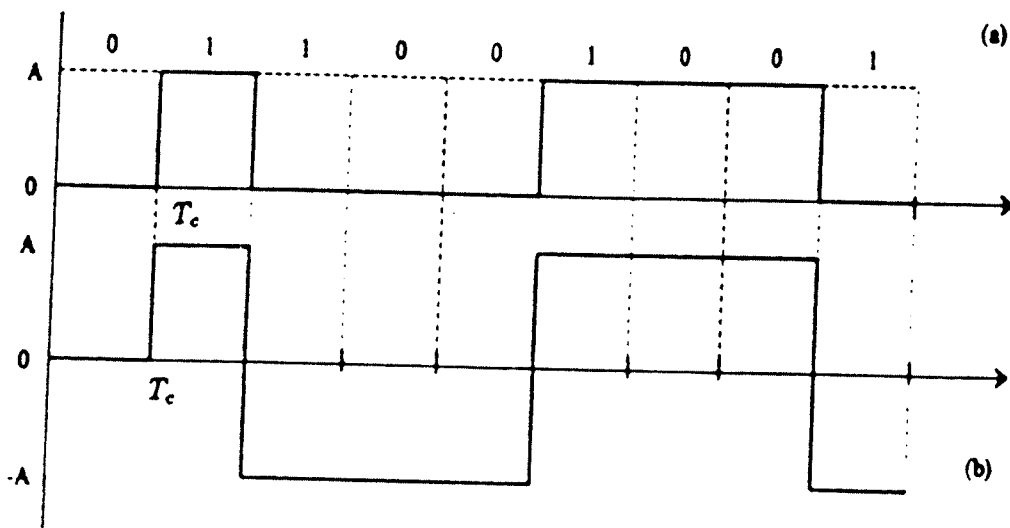
(componente continua nula)





**Figura 1.5: Código BIPOLAR**

Componente continuo = 0  
 Se tiene memoria: se obtiene entre A y -A por cada d.

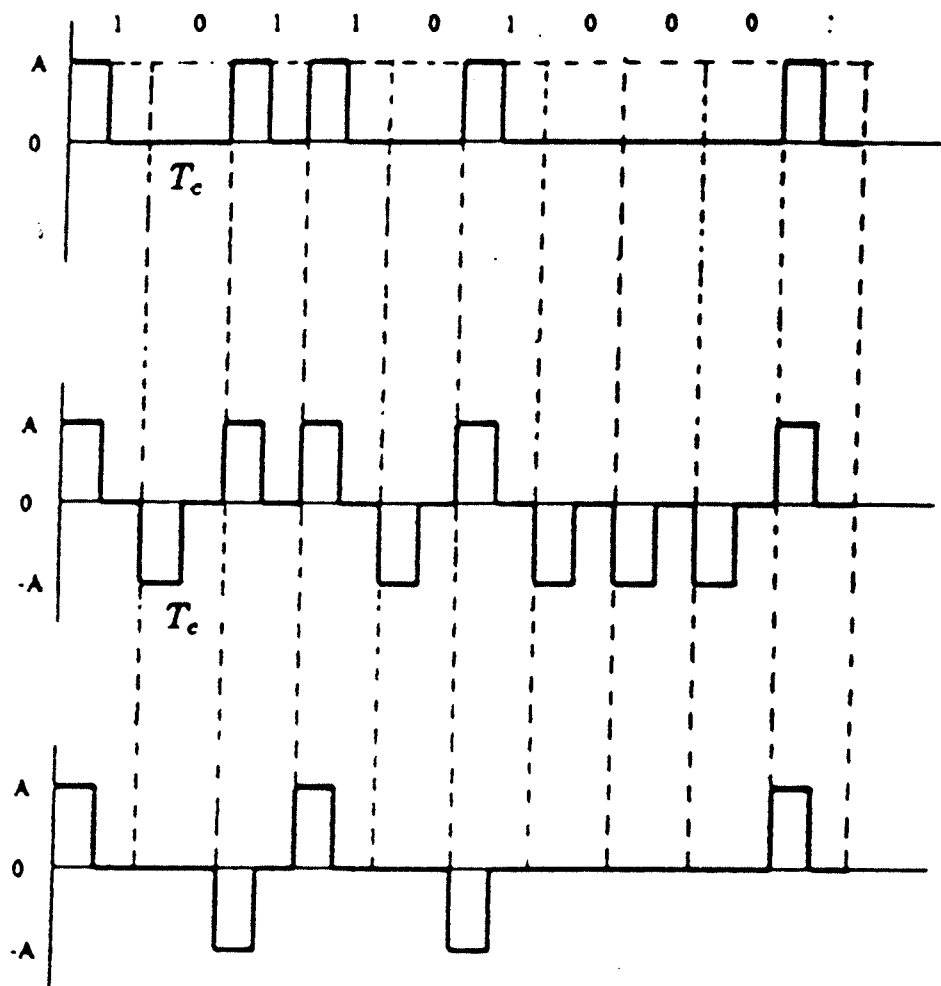


**Figura 1.6: Código DIFERENCIAL-NRZ.**

- (a) Unipolar;
- (b) Polar

Cuando llega un d cambia el nivel





**Figura 1.7: Código RZ.**

- (a) Unipolar
- (b) Polar
- (c) Bipolar-RZ o AMI



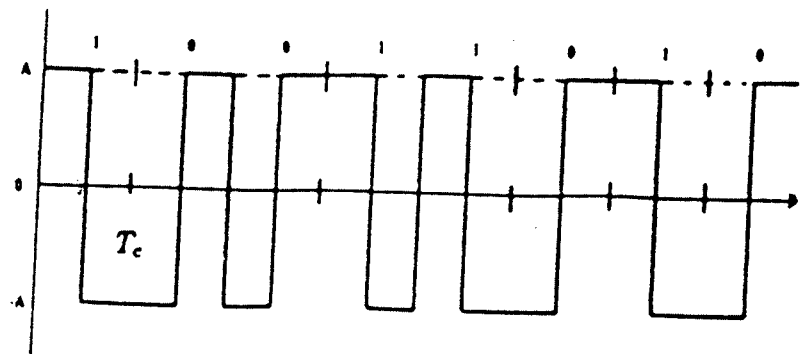


Figura 1.8: Código Manchester

$$\left. \begin{array}{l} 1 = \overline{L} \\ 0 = \overline{S} \end{array} \right\}$$

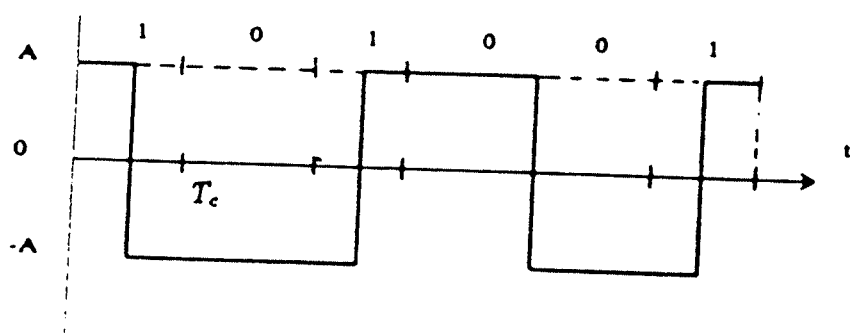
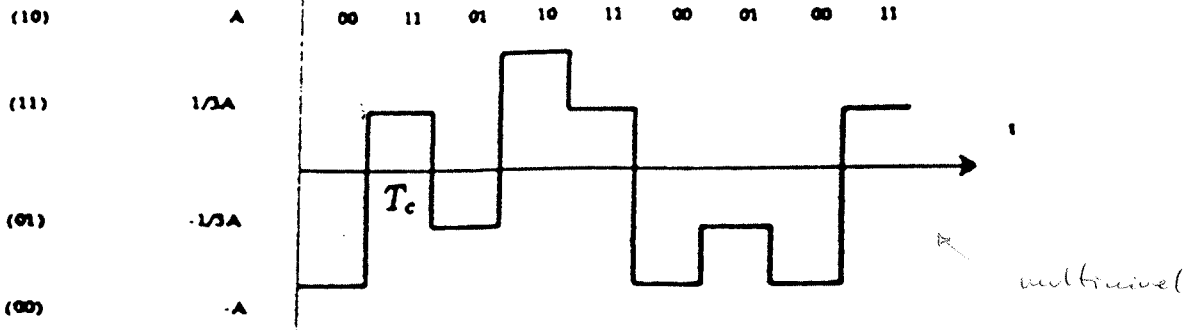


Figura 1.9: Código MILLER o de modulación por retardo



CODIGO



CODIGO

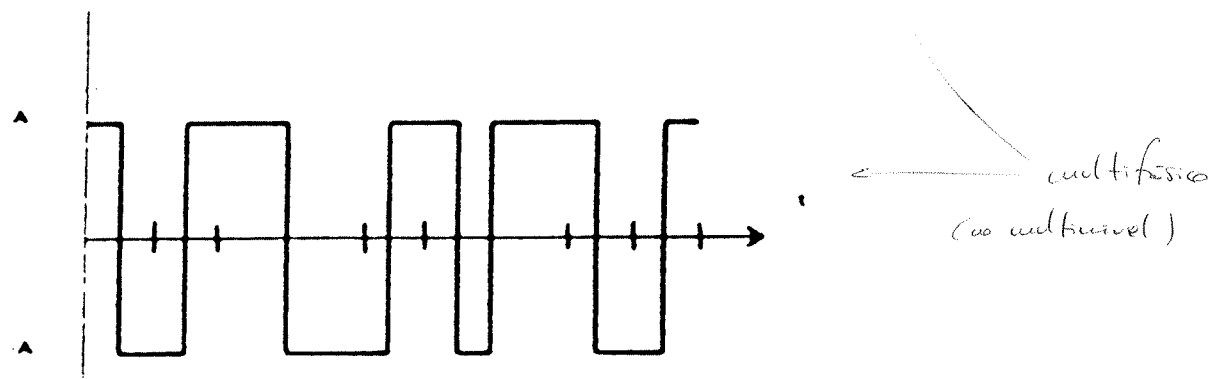
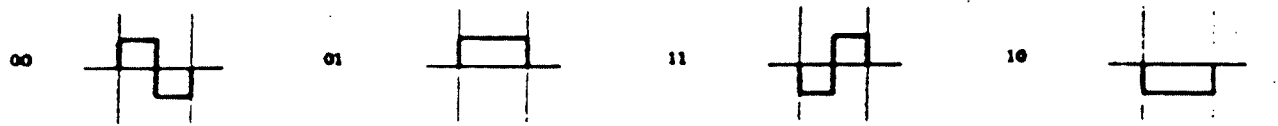
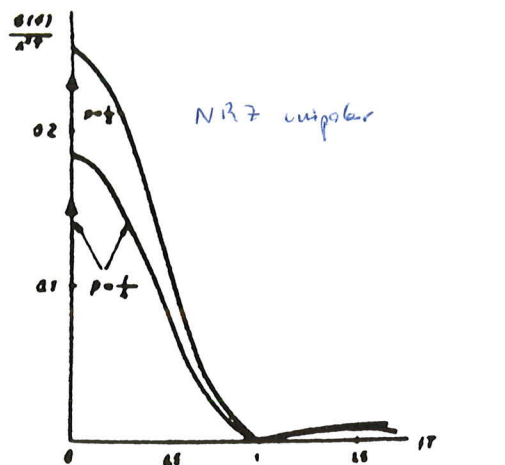
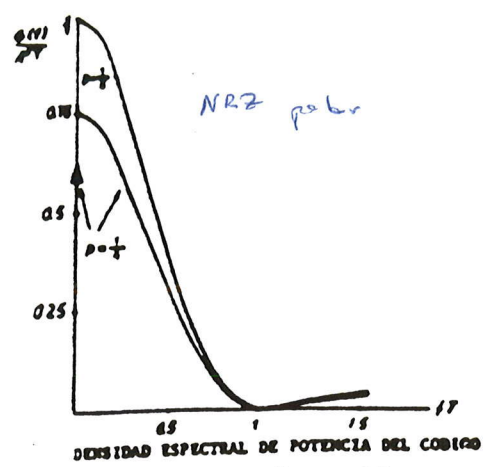


Figura 1.10: Ejemplos de codificación multinivel

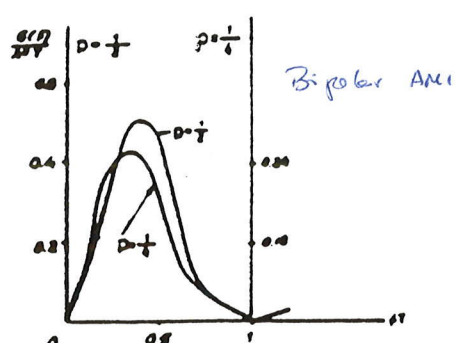




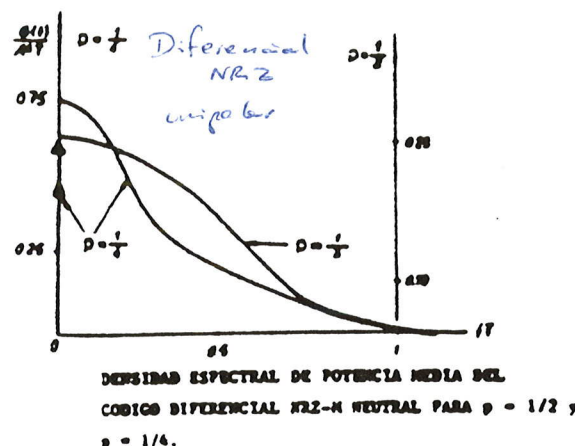
DENSIDAD ESPECTRAL DE POTENCIA MEDIA PARA EL CODIGO NRZ-NEUTRAL CON  $p = 1/4$  Y  $p = 1/2$ .



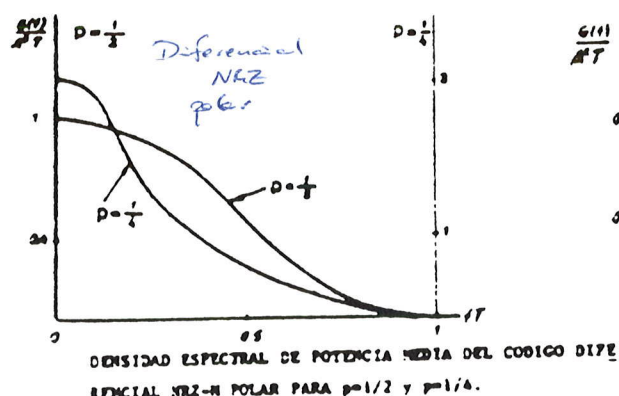
DENSIDAD ESPECTRAL DE POTENCIA DEL CODIGO NRZ-POLAR PARA  $p = 1/2$  Y  $p = 1/4$ .



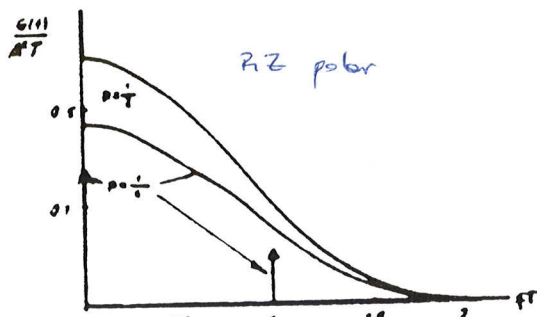
DENSIDAD ESPECTRAL DE POTENCIA DEL CODIGO NRZ-BIPOLAR PARA  $p = 1/2$  Y  $p = 1/4$ .



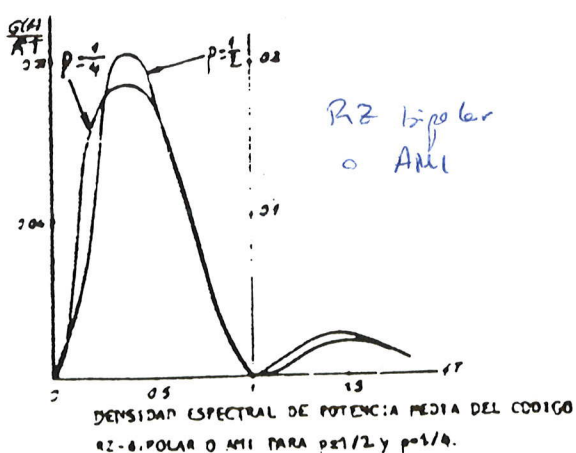
DENSIDAD ESPECTRAL DE POTENCIA MEDIA DEL CODIGO DIFERENCIAL NRZ-M NEUTRAL PARA  $p = 1/2$ ,  $p = 1/4$ .



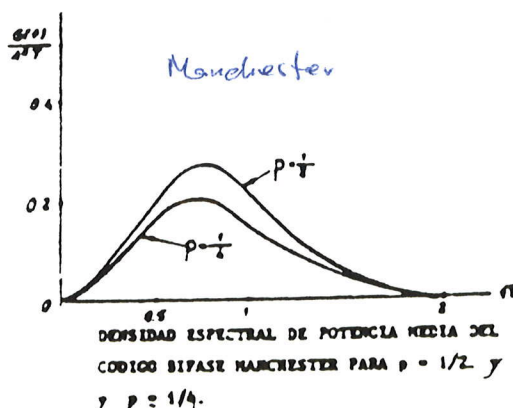
DENSIDAD ESPECTRAL DE POTENCIA MEDIA DEL CODIGO DIFERENCIAL NRZ-M POLAR PARA  $p = 1/2$  Y  $p = 1/4$ .



DENSIDAD ESPECTRAL DE POTENCIA MEDIA DEL CODIGO RZ-POLAR PARA  $p = 1/2$  Y  $p = 1/4$ .



DENSIDAD ESPECTRAL DE POTENCIA MEDIA DEL CODIGO RZ-BIPOLAR O AMI PARA  $p = 1/2$  Y  $p = 1/4$ .



DENSIDAD ESPECTRAL DE POTENCIA MEDIA DEL CODIGO BIFASE MANCHESTER PARA  $p = 1/2$  Y  $p = 1/4$ .

Figura 1.11: Espectros de diferentes códigos

